THE HEALTH AND THE SECOND

AND CONTRACTOR OF A PARTY OF STATE OF S

Vorgelege vor Buldoold viede Baldeloorg rearler Die vorliegende Arbeit wurde unter Anleitung von Herrn Priv. Doz. Dr. EDMUND BÄUERLEIN im Max-Planck-Institut für medizinische Forschung, Abteilung Naturstoffchemie (Prof. Th. Wieland) in Heidelberg in der Zeit von Mai 1974 bis Oktober 1974 durchgeführt.

EINLEITUNG

Es gibt eine verwirrende Vielzahl von publizierten Methoden zum Nachweis von -SH und -SS-Gruppen in biol. Geweben, wahr-scheinlich mehr als für irgendeinen anderen biochem. Nachweis. Natürlich spiegelt dies das große biologische Interesse an diesen Gruppen wieder, aber es macht es auch schwierig, die verschiedenen Ergebnisse zu interpretieren. Neuere Monographien (Jocelyn, P.C., 1972 und Friedman, M., 1973) versuchen Ordnung in diese Fülle von Erfahrung zu bringen.

Welche Methoden auch benutzt werden, die Nachweise für totale SH/SS-Gruppen in Gewebe-Extrakten sind bis jetzt mehr informativ auch wenn sie Thiol- und Disulfidgruppen unterscheiden können.

Das Studium speziell ausgewählter Reviews (Rothstein, A., 1970; Lennan, D.H.M., 1970; Bäuerlein, E., 1972; Boyer, P.D., 1971; Sabadie-Pialoux, N. und Gautheron, D., 1971; Baltscheffsky, H. und M., 1974; Follmann, H., 1974; Heitmann, P., 1968) gestattet folgendes Bildder Anforderungen an ein Nachweisreagens für zellulare und subzellulare SH-Gruppen aufzuzeichnen:

Das Reagens muß zunächst einmal SH-spezifisch reagieren - wobei eine Selektivität hinsichtlich bestimmter SH-Gruppen erwünscht ist. Es darf keine Variation der SH-Gruppen aufgrund von Disulfidspaltung und Oxydation/Reduktion von SH-Gruppen auftreten, wozu schonende Reaktionsbedingungen und entsprechendes Verhalten von Reagentien gehören.

Das Reagens muß unter schonenden Bedingungen (ideal: physiologisch) reaktiv genug sein, um schnell (kurze Reaktionszeit) auch instabile Protein-SH-Gruppen abfangen zu können - das heißt nicht nur die Anfangsreaktionsgeschwindigkeit ist entscheidend, sondern auch ein schneller Endpunkt der Reaktion auf der gewünscten Seite (qualitative und quantitative Umsetzung).

Je nach Anforderung (Isolierung eines SH-Proteins, Suchen einer SH-Funktion) muß das Reagens entweder reversible oder irreversible Bindungen eingehen. Auch geringste Spuren von SH-Gruppen-Proteinen müssen nachweisbar sein (hohe Sensibilität)

And the second of the second o

Edition of the control of the control

and the control of the particle of the control of t

And the second of the second o

and the contract of the contra

 $\mathcal{L}_{\mathcal{L}}$, which is a sum of the second of $\mathcal{L}_{\mathcal{L}}$, which is the second of $\mathcal{L}_{\mathcal{L}}$

The state of the s

Die verschiedenen Umgebungen der SH-Gruppen, die einen eingebettet in lipophile Bereiche, die anderen in hydrophiler Umgebun machen eine Variation der SH-Agentien notwendig - mehr lipophile Reagentien dringen leichter in lipophile Bereiche vor (hydrophob Wechselwirkungen u.a.) und so sind sonst nicht erreichbare SH-Gruppen nachzuweisen (vor allem in nativen Zellen und ihren Untereinheiten). Wichtig ist hier das Lösungsvermögen der Reagentien sowohl in lipophiler wie auch hydrophiler Umgebung (→Transport). Man kann sich leicht vorstellen, daß die Reaktion geschwindigkeit von Substraten davon abhängt, wie sie zum aktive Zentrum gelangen können, sicherlich wird dieser Vorgang auch von Substratgröße und -Struktur mitbestimmt (→Dissoziation von Untereinheiten von Enzymen infolge sterischer Effekte durch S-Substituenten: SH-Agentien). Einen Einfluß auf die Reaktionsgeschwindigkeit haben sicherlich auch hydrophobe Bindungen (evtl. hydrophoben Charakter der SH-Gruppe selbst in Betracht ziehend).

Wichtig ist nun, daß <u>Sulfensäurederivate</u> (wie Sulfenyljodid) <u>in lipophiler Umgebung annähernd stabil</u> sind und hier auch mit entsprechenden Agentien nachgewiesen werden können – entweder direkt, falls sie vorkommen sollten, oder nach ihrer Darstellung aus Thiolen – zum <u>indirekten Nachweis</u> jener.

Zur Untersuchung der nativen Zelle oder ihrer Untereinheiten sind Reagentien notwendig, die entweder nicht durch die Membran dringen und somit -SH im Außenbereich anzeigen oder aber Reagentien, die die Membran durchdringen und für Untersuchungen im Innenraum in Frage kommen (einmal mit, einmal ohne Membraneffekt - um so einen Durchleitungsmechanismus ablesen zu können)

Für Untersuchungen im Innern der Zelle (nativ) oder ihrer Untereinheiten ist nun ebenfalls wichtig zu wissen, daß die Spezifität einzelner isolierter Enzymsysteme nicht auch im größeren Verband angetroffen werden muß - was die Untersuchungen

erschwert! Von entscheidender Eedeutung dürfte hier Konformation und die Struktur der Umgebung sein.

Eine Hemmung (oder Aktivierung) einer Funktion aufgrund der Behandlung mit SH-Agens muß nicht auf dem chemischen Abfangen einer SH-Gruppe beruhen - auch eine Konformationsänderung kann die Ursache sein. Mit Hilfe spezieller (gezielter) Konformationsänderung (durch die Struktur eines Agenses; durch Licht induzier kann eine Änderung des spezifischen Verhaltens hervorgerufen werden. Kein Effekt durch ein SH-Agens bedeutet nun nicht, daß keine SH-Gruppe vorhanden ist - unter Konformationserhalt kann eine SH-Gruppe verdrängt worden sein (allerdings recht unwahrscheinlich).

Das gerade Dargebrachte macht klar, daß die Wirkung von SH-Agentien nur richtig interpretiert werden kann, wenn die Struktur (Konformation) der zu untersuchenden Teilchen genau bekannt ist.

State and the State of the Control of

"我们"的"我们","你没有我们,不是什么是什么的我们的我们,我们就会没有一定的。""我们

Andrew Commencer (1986) and the commencer of the commence

Auch wenn ein SH-Reagens allen Anforderungen genügt, heißt das noch lange nicht, daß es auch für den Nachweis zu gebrauchen ist. Der Umsetzungsgrad oder eine funktionelle Störung muß mitte einer einfachen und raschen analytischen Methode bestimmbar sein (Colorimetrisch, UV, IR, gekoppelte Enzym. Reaktion, Tracer-Atome usw.).

Diese Arbeit geht aus von den Ergebnissen Merz, H. et als (1965) Holbrook, J.J. et als (1966), Heitz, J.R. et als (1968), Anderson, B.M. et als (1970), mit radioaktiv markiertem N(N-Acetyl-4-sulfamoyl-phenyl)-maleimid an Cystein (Merz) bzw. essentiellen SH-Gruppen der Lactatdehydrogenase und Glyceraldehyd-3-phosphat-dehydrogenase (Holbrook) sowie mit N-Alkylmaleimiden an Hefe-Alkohol-Dehydrogenase (Heitz) bzw. Papain (Anderson).

Das Ziel dieser Arbeit ist zunächst die Darstellung von N(N-Alkyl-4-sulfamoylphenyl)-maleimiden wachsender Alkylkettenlänge (d.h. wachsender Lipophilie). Die Synthese soll möglichst einfach vom Ausgangsprodukt zum Endprodukt erfolgen, so daß eine schnelle und einfache Darstellung der radioaktiv markierten Substanz analog erfolgen kann.

Der zweite Teil dieser Arbeit umfaßt die Darstellung

and the contract of the contra

A subject of the control of the c

Monosubstituierter N-Alkyl-Thioharnstoffe und 6-Alkyl-2-Thiouracils, d.h. Sulfensäurereagentien wachsender Lipophilie. Es soll hier die Tatsache relativ stabiler Sulfensäurederivate (wie Sulfenyljodid) in gewissen Proteinen (s. Allgemeiner Teil), in Fortsetzung der Arbeit von Cunningham, L.W. (1964), genutzt werden für einen direkten Nachweis von Sulfensäurederivaten oder den indirekten Nachweis von Thiol-Gruppen. Auch diese Reagenzien sollen in Hinblick auf eine radioaktive Markierung möglichst einfach aus einem geeigneten Ausgangsprodukt synthetisiert werden.

Den Abschluß bildet eine systematische Untersuchung mit den Sulfensäureagentien an ß-Lactoglobulin. Es soll hier die größere Reaktivität lipophiler Reagentien an SH-Gruppen in lipophiler Umgebung bewiesen werden, denn dieser Aspekt wurde bisher in allen Arbeiten mit SH-Reagenzien vernachlässigt.

INHALTSVERZEICHNIS

	Seit
I.ALIGEMEINER TEIL	
A.Ergebnisse bisheriger Arbeiten mit Maleimiden	1
1.mit N(N-Acetyl-4-sulfamoyl)-maleimid	1
2.mit N-Alkylmaleimiden wachsender Kettenlänge	2
3.in Folge erwartet mit N(N-Alkyl-4-sulfamoylphenyl)-	
maleimiden	4
B.Ergebnis der Arbeiten mit Thioharnstoffen und	
Thiouracils	5
1.Stabile Sulfenyljodide	5
2.B-Lactoglobulin	5
3.Bisherige Arbeiten mit Sulfenylagentien an	
ß-Lactoglobulin-Sulfenyljodid	. 7
4. Eigene Versuche mit Sulfenylagentien an	
ß-Lactoglobulin-Sulfenyljodid	10
II.SYNTHESE DER LIPOPHILEN THIOL- UND SULFENSÄUREAGENTIEN	
A. Synthese der $N^4(N^7-Alkyl-sulfamoylphenyl)-maleimide$	17
1. Gesamtsyntheseweg	17
2.Synthese der N ⁴ -Acetyl-N ¹ -Alkylsulfanilamide	18
3. Verseifung der N ⁴ -Acetyl-N ¹ -Alkylsulfanilamide	19
4. Darstellung der Maleinsäuremonoamide	19
5. Cyclisierung der Maleinsäuremonoamide	21
a.Dehydration, Versuche und Ergebnisse	21
b.Dehydration, Reaktionsmechanismen	23
c.Diskussion zur Cyclisierung mit Na-acetat/	/
Essigsäure, Reaktionsmechanismen	27
d.Ergebnisse unserer Maleinsäuremonoamid-	,
Cyclisierung mit Na-acetat/Essigsäure	29

ta di titata di membana di ancionale della esperanti di suomenti d

en de la composition La composition de la

and the strength of the streng

en de la composition La composition de la

and the second of the second o

Part of the second of the seco

	Seite
6.NMR, IR und MS-Spektren zu den dargestellten	
Maleimiden	32
a.N(4-sulfamoylphenyl)-maleimid	32
b.N(N-Acetyl-4-sulfsmoylphenyl)-msleimid	33
c.N(N-Methyl-4-sulfamoylphenyl)-maleimid	34
d.N(N-Acetyl-N-Methyl-4-sulfamoylphenyl)-maleimid	35
e.N(N-Dimethyl-4-sulfamoylphenyl)-maleimid	36
f.N(N-Isopropyl-4-sulfamoylphenyl)-maleimid	37
g. $\mathtt{N}(\mathtt{N-n-Propyl-4-sulfamoylphenyl}) ext{-maleimid}$	37
B.Synthese der monosubstituierten Thioharnstoffe	38
C.Synthese der 6-Alkyl-2-Thiourscile	38
a.NMR-Spektren der Thioharnstoffe	41
b.NMR-Spektren der Thiouracile	42
III.EXPERIMENTELLER TEIL	
A.Allgemeine Hilfsmittel	44
1.Dünnschichtchromatographie	44
2.Ausgangsmaterialien, die nicht selbst hergestellt	
wurden	45
3.Lösungsmittel	45
B.Synthesen	46
1.Darstellung der N ⁴ -Acetyl-N ¹ -Alkylsulfanilamide	46
aN ¹ -Methyl-	46
bN ¹ -Dimethyl-	46
cN ¹ -Isopropyl-	46
dN ¹ -n-Propyl-	46
eN ¹ -n-Pentyl-	47
fN ¹ -n-Heptyl-	47
gN ¹ -n-Nonyl-	47
2.Darstellung der N ¹ -Alkylsulfanilamide	47
ə.N ¹ -Methyl-	47
b.N ¹ -n-Pentyl-	47
$3.\mathtt{Darstellung}$ der \mathtt{N}^4 -Maleoyl- \mathtt{N}^1 -Alkylsulfanilamide	48
a.Məleoylsulfanilamid	48

			er i di
			the supplied of the supplied o
	<u>.</u>		the state of the s
			 Approximation was all register
			skin kaj integrini kinding m
	A Land		
		grand and	
		<u>.</u>	
ş			·
			e e e e e e e e e e e e e e e e e e e
			and the state of t
			.101
			Anna Landa (1986)
			e en estado en estad
	1		the second of the second of the second
			·· 1
::			· And the state of
			en e
	·.	u — — — — — — — — — — — — — — — — — — —	

		Seit
	b. N^4 -Məleoyl- N^1 -Methylsulfaniləmid	48
	$c.N^4$ -Məleoyl- N^1 -Dimethylsulfəniləmid	48
	d.N ⁴ -Məleoyl-N ¹ -n-Propylsulfəniləmid	48
	e.N ⁴ -Maleoyl-N ¹ -Isopropylsulfanilamid	49
	$f.N^{4}$ -Məleoyl- N^{1} -n-Pentylsulfəniləmid	49
	$g.N^4$ -Maleoyl- N^1 -n-Heptylsulfanilamid	49
	$h.N^4$ -Maleoyl- N^1 -n-Nonylsulfanilamid	49
4.	Cyclisierung der N ⁴ -Maleoyl-N ¹ -Alkylsulfanilamide	50
	a.N(4-Sulfamoylphenyl)-maleimid	50
	b.N(N-Acetyl-4-Sulfamoylphenyl)-maleimid	50
5.	Darstellung der monosubstituierten Thioharnstoffe	51
	a.Tert.Butyl-Isothiocyanat	51
	b.1-n-Propyl-3-tert.Butyl-Thioharnstoff	52
	c.1-n-Pentyl-3-tert.Butyl-Thioharnstoff	52
	d.1-n-Heptyl-3-tert.Butyl-Thioharnstoff	52
	e.1-n-Nonyl-3-tert.Butyl-Thioharnstoff	52
	f.1-n-Propyl-Thioharnstoff	52
6.	Darstellung der 6-n-Alkyl-2-Thiouracile	53
	a.n-Caproylacetessigester	53
	b.n-Caprylacetessigester	53
	c.n-Caprinacetessigester	53
	d.n-Caproylessigester	54
	e.n-Caprylessigester	54
	f.n-Caprinessigester	54
	g.6-n-Pentyl-2-Thiourscil	54
	h.6-n-Heptyl-2-Thiourscil	55
	i.6-n-Nonyl-2-Thiouracil	55
7.	Kinetik	55
	a.ß-Lactoglobulin-Lösung	55
	b.Titration der ß-Lactoglobulin-Lösung	55
	c.Herstellen des ß-Lactoglobulin-Sulfenyljodid	56
	d.Herstellen der Thioharnstoff- und Thiouracil-	
	Lösungen	56
	e.Abfangreaktionen	56

I.ALLGEMEINER TEIL

A STATE OF THE STA

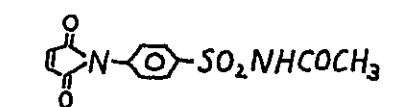
(1) (1) 我们还是一种的人的人,但是一种"E

and the second of the second o

The state of the s

A. Ergebnisse bisheriger Arbeiten mit Møleimiden (SH-Reøgentien

 $\underline{\text{1.}\underline{\text{mit}}} \ \underline{\text{N}}(\underline{\text{N-Acetyl-4-sulfamoyl}} -\underline{\text{maleimid}}$



Merz, H. et al (1965) synthetisierten unter anderem, zur Markierung von SH-Gruppen in Proteinen, die nachträglich enzymatisch zerlegt und in der Umgebung der Cysteinreste untersucht werden sollten, N(N-Acetyl-4-sulfamoylphenyl)-maleimi Die Substanz ist als Na-Salz (acider Imidostickstoff) in Wasser mit neutraler Reaktion löslich. Die wäßrige Lösung reagiert bei pH6 rasch und quantitativ mit Cystein. Orientierende Versuche hatten gezeigt, daß die Verbindung trotz ihres raumerfüllenden Substituenten in vielen Fällen rasch mit funktionellen SH-Gruppen von Enzymen reagiert. Die Reaktion der Verbindung, die durch ³⁵S-Gehalt radioaktiv markiert wurde. mit Cystein bei pH6 wurde papierchromatographisch verfolgt. Nach 2 Stunden wurde aus dem Vergleich der Aktivitäten gefunden. daß 63,5 % des radioaktiven Reagenses im gewünschten Sinne mit Cystein reagiert hatten, 29,3 % hydrolytisch aufgespalten waren und 7,2 % unverändert geblieben sind.

Holbrook, J.J.et al(1966) beschreiben die Reaktion von

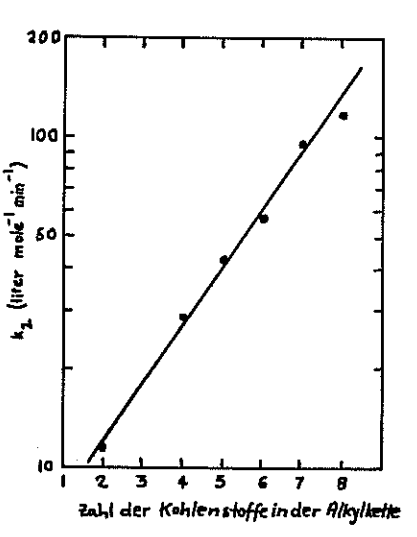
13 N-substituierten Maleimiden mit essentiellen SH-Gruppen der
Lactatdehydrogenase und Glycerinaldehyd-3-phosphat-dehydrogenase
Je kleiner die N-Substituenten sind, desto schneller reagieren
die Maleimide mit den beiden Enzymen. Eine Ausnahme bilden

N(N-Acetyl-4-sulfamoylphenyl)- und N(y-phenyl-n-butyl)-maleimid

N-CH-CH-CH-CH-CD, es wird auf aromatische Wechselwirkungen
verwiesen. Nach Reaktion der essentiellen SH-Gruppen von LDH-I
und aller SH-Gruppen von LDH-5 mit N(N-Acetyl-4[35s]-sulfamoylphenyl)-maleimid wurden die beiden Enzyme einer tryptischen
Hydrolyse unterworfen, und die radioaktiv markierten Peptide
rein dargestellt.

2.mit N-Alkylmaleimiden wachsender Kettenlänge N-R R=Alkyl (bis (10)
Benzyl

Heitz,J.R.et_al(1968) synthetisierten sieben N-Alkylmaleimide wachsender Kettenlänge. Die effektive Desaktivierung von Hefe-ADH bei pH7 durch diese Alkylmaleimide wurde beobachtet. Der Effekt des pH-Wertes (von 8,6 bis 9,4) auf die Hydrolyse von N-Äthylmaleimid (NEM) wurde studiert, wobei eine spezifische Basenkatalyse der Reaktion festgestellt wurde. Es wurde auf pH7 extrapoliert und ein extrem kleiner Wert für Hydrolyse gefunden, vernachlässigbar für die weiteren Messungen. Die Geschwindigkeitskonstante 2.Ordnung der Maleimid-Desaktivierung von ADH wuchs mit wachsender Kettenlänge des Alkylsubstituenten der Maleimid-Derivate (Fig.1). Kein 'Kettenlängen-Effekt' wurde



SARARA HADA LANGGA MARKA CAMURI

range in the control of the control

【1916年1916年1916日 - 1916年1918日 - 1916年1918日 - 1916年1916日 - 1916日 - 1916日 - 1916日 - 1916日 - 1916日 - 1916日 - 1916日

The agree and efficient of the control of the entering of the entering of the ac-

ra i la tradicio de alguno del como los comos de los como de esta como de la como de la como de la como de la c

,1945年4月1日 - 1948年1月1日 - 大京 (1939年12日 - 1974年19月 - 1974年12日

医神经病 医乳球性脓肿 医乳球虫虫 医乳腺性 医乳腺性 医二氏性神经炎 医二氏虫虫 医二氏虫虫

rando en la como de la

 (k_1, k_2, \ldots, k_m) , which is the (k_1, \ldots, k_m) , (k_1, \ldots, k_m) , (k_1, \ldots, k_m) , (k_1, \ldots, k_m) ,

(1) 10 (1) 10 (1) 10 (1) 10 (1) 10 (1) 10 (1) 10 (1) 10 (1) 10 (1) 10 (1) 10 (1) 10 (1) 10 (1) 10 (1) 10 (1) 10 (1) 10 (1) 10 (1) 10 (1) 10 (1) 10 (1) 10 (1) 10 (1) 10 (1) 10 (1) 10 (1) 10 (1) 10 (1) 10 (1) 10 (1) 10 (1) 10 (1) 10 (1) 10 (1) 10 (1) 10 (1) 10 (1) 10 (1) 10 (1) 10 (1) 10 (1) 10 (1) 10 (1) 10 (1) 10 (1) 10 (1) 10 (1) 10 (1) 10 (1) 10 (1) 10 (1) 10 (1) 10 (1) 10 (1) 10 (1) 10 (1) 10 (1) 10 (1) 10 (1) 10 (1) 10 (1) 10 (1) 10 (1) 10 (1) 10 (1) 10 (1) 10 (1) 10 (1) 10 (1) 10 (1) 10 (1) 10 (1) 10 (1) 10 (1) 10 (1) 10 (1) 10 (1) 10 (1) 10 (1) 10 (1) 10 (1) 10 (1) 10 (1) 10 (1) 10 (1) 10 (1) 10 (1) 10 (1) 10 (1) 10 (1) 10 (1) 10 (1) 10 (1) 10 (1) 10 (1) 10 (1) 10 (1) 10 (1) 10 (1) 10 (1) 10 (1) 10 (1) 10 (1) 10 (1) 10 (1) 10 (1) 10 (1) 10 (1) 10 (1) 10 (1) 10 (1) 10 (1) 10 (1) 10 (1) 10 (1) 10 (1) 10 (1) 10 (1) 10 (1) 10 (1) 10 (1) 10 (1) 10 (1) 10 (1) 10 (1) 10 (1) 10 (1) 10 (1) 10 (1) 10 (1) 10 (1) 10 (1) 10 (1) 10 (1) 10 (1) 10 (1) 10 (1) 10 (1) 10 (1) 10 (1) 10 (1) 10 (1) 10 (1) 10 (1) 10 (1) 10 (1) 10 (1) 10 (1) 10 (1) 10 (1) 10 (1) 10 (1) 10 (1) 10 (1) 10 (1) 10 (1) 10 (1) 10 (1) 10 (1) 10 (1) 10 (1) 10 (1) 10 (1) 10 (1) 10 (1) 10 (1) 10 (1) 10 (1) 10 (1) 10 (1) 10 (1) 10 (1) 10 (1) 10 (1) 10 (1) 10 (1) 10 (1) 10 (1) 10 (1) 10 (1) 10 (1) 10 (1) 10 (1) 10 (1) 10 (1) 10 (1) 10 (1) 10 (1) 10 (1) 10 (1) 10 (1) 10 (1) 10 (1) 10 (1) 10 (1) 10 (1) 10 (1) 10 (1) 10 (1) 10 (1) 10 (1) 10 (1) 10 (1) 10 (1) 10 (1) 10 (1) 10 (1) 10 (1) 10 (1) 10 (1) 10 (1) 10 (1) 10 (1) 10 (1) 10 (1) 10 (1) 10 (1) 10 (1) 10 (1) 10 (1) 10 (1) 10 (1) 10 (1) 10 (1) 10 (1) 10 (1) 10 (1) 10 (1) 10 (1) 10 (1) 10 (1) 10 (1) 10 (1) 10 (1) 10 (1) 10 (1) 10 (1) 10 (1) 10 (1) 10 (1) 10 (1) 10 (1) 10 (1) 10 (1) 10 (1) 10 (1) 10 (1) 10 (1) 10 (1) 10 (1) 10 (1) 10 (1) 10 (1) 10 (1) 10 (1) 10 (1) 10 (1) 10 (1) 10 (1) 10 (1) 10 (1) 10 (1) 10 (1) 10 (1) 10 (1) 10 (1) 10 (1) 10 (1) 10 (1) 10 (1) 10 (1) 10 (1) 10 (1) 10 (1) 10 (1) 10 (1) 10 (1) 10 (1) 10 (1) 10 (1) 10 (1) 10 (1) 10 (1) 10 (1) 10 (1) 10 (1) 10 (1) 10 (1) 10 (1) 10 (1) 10 (1) 10 (

ing the contract of the contra

一直,这一点,这个一点,这个一块,他就是一个一个一点,这个一点,不是一

Fig. 1. Effekt der Kettenlärge auf die Desaktivierung von Hefe-ADH durch N-Alkylmaleimide.

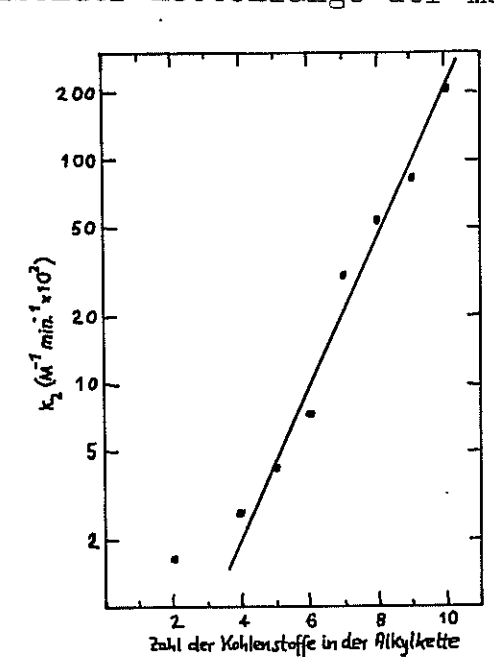
beobachtet bei der Reaktion von NEM und N-Heptylmaleimid mit Cystein und Glutathion (Die Kinetik dieser Reaktion beschreib Gorin, G. et al, 1966, als Kinetik 2. Ordnung). Hefe-Glucose-6-phosphat-Dehydrogenase, die weniger empfindlich durch Maleimide inaktiviert wird als Hefe-ADH, zeigte keinen nennenswerten Kettenlängeneffekt durch NEM und Heptylmaleimid.

Für die Messungen wurde das

UV-Maximum der NEM-Absorption bei 300 mm mit dem molaren Extinktionskoeffizienten von 620 und seine spezifische Änderung durch quantitative Mengen von Thiol-Gruppen ausgenützt. Dieses UV-Maximum ist allerdings nicht auf aromatische Maleimid-Derivat wie N(N-Acetyl-4-sulfamoylphenyl)-maleimid anwendbar. Die starke UV-Absorption des substituierten Benzolringes (Ausgangsprodukt, Hydrolyseprodukt, Additionsprodukt usw.) machen eine Beobachtung dieser schwachen Änderung bei 300 mm unmöglich, weshalb auf Isotopenmarkierung zurückgegriffen wurde (Merz, H.et al, 1965, Holbrook, J.J.et al, 1966).

Es konnte gezeigt werden, daß der Kettenlängeneffekt die SH-Gruppe eines Enzymes in nichtpolarer Umgebung anzeigt; kein Effekt dagegen auf eine SH-Gruppe außerhalb einer nichtpolaren Umgebung deutet. Es werden zwei Möglichkeiten zur Erklärung des Effekts angeboten: entweder zunächst Enzym-Maleimid-Komplex mittels nichtpolarer Wechselwirkung, Komplex-Stabilisierung verbunden mit Desaktivierung und dann Weiter-reaktion oder aber schnelle Reaktion vom Maleimid mit einer funktionellen Gruppe ohne Desaktivierung und nachfolgende desaktivierende Strukturänderung gefördert durch nichtpolare Wechselwirkungen. Es war nicht möglich aufgrund der erhaltenen kinetischen Daten zwischen beiden Möglichkeiten zu Unterscheiden Die erste Möglichkeit erscheint allerdings plausibeler.

Anderson, B.M.et al(1970) synthetisierten eine Serie von N-Alkylmaleimiden und beobachteten die Desaktivierung von Papain bei pH7 als Pseudo-1.Ordnungs-Prozeß bei Maleimid-Überschuß. Es wird gezeigt, daß die augenscheinliche Geschwindig-keitskonstanten 2.Ordnung der Papain-Desaktivierung steigen mit wachsender Kettenlänge der Maleimid-Derivate (Fig.2). Die



F16.2. Effekt der Kettenlänge auf die Desaktivierung von Papain durch N-Alkylmoleimide.

Titration des Enzymes mit N-Penty maleimid ergibt eine einzige funktionelle Gruppe, die mit dem Maleimid reagiert, und es existie eine 1:1 Stöchiometrie zwischen der Modifikation dieser Gruppe und dem Verlust der katalytischen Aktivität. Es wurde eine Sättigun Kinetik (Pseudo 1. Ordnungs-Kineti bei Überschuß von Maleimid) erhal in der maleimid-Desaktivierung von Papain und die Abwesenheit eines Kettenlängeneffektes in der max. Geschwindigkeit der Desaktivierun mit vier verschiedenen N-Alkylmaleimiden, zeigt an, daß die

Einbeziehung der Alkylseitenkette in den gesamten Desaktivierung: Prozeß vorwiegend auf der Bindung des Maleimides an das Enzym

小便 医海绵 医二重性抗性病 医温度 的第三人称单数 医多种性病 医牙上皮 医抗毒 and the second winds to 4. 医三角性 1. Carter 1. Cart ,这一点,一点一点,一点一点,一点一点,一点就是一点,最后的数字。在这样的一点。 "我们来了"这一直没有一个一样,"我们","我们"的一个事情,他们 建聚物 医乳腺管理 医克克氏菌 医二甲二二乙二 人名英格兰 医多种性 医多种性 医多种性 医多种性 and the second of the second o A CAR CALL PARTY OF THE STATE O "他曾国际的政治人物"。 化水油电流 经自己基础经验证券 thought and the state of the same in ,我_我我们的一个人,我们就是一个人的人,我们就没有一个人的。" and the second of the second o ing the state of t

graduga gradina kan barangan kan

1. "是我们的一个人,我们就是我们的一个人,我们就是我们的一个人,我们就是我们的一个人,我们就是我们的一个人,我们就是我们的一个人,我们就是我们的一个人,我们

"我要是不是我们的人,我们要是一个人,我们就是我们的人,我们就是我们的人,我们就会会会会会。" "我们我们的我们就是我们的我们就是我们的我们就是我们的我们就是我们的我们的我们就是我们的我们的我们就是我们的我们就是我们的我们的我们就是我们的我们就是我们的我

The second secon

entropy of the second of the s

Committee the second of the second of the second

beruht. Die Maleimid-Desaktivierung von Papain wird beschrieben als Zwei-Stufen-Prozeß: die Bindung des Maleimids an das aktive Zentrum, welches erleichtert wird durch nichtpolare Wechsel-wirkungen der Alkylseitenkette des Maleimides mit nichtpolarer Region des Enzymes, und anschließender irreversibler Desakti-vierungs-Reaktion zwischen dem gebundenen Maleimid und der SH-Gruppe im aktiven Zentrum. &-L-Benzoyl-L-Arginine, ein Substrat kompetiver Hemmer von Papain, fungierte teilweise als Schutz gegen die Maleimid-Desaktivierung.

Enzym + Maleimid $\frac{k_1}{k_2}$ Enzym-Maleimid-Komplex $\frac{k_3}{k_3}$ Jnaktives Enzym

3.in_Folge_erwartet_mit_N(N-Alkyl-4-sulfamoylphenyl)-maleimiden

In den zu synthetisierenden N(N-Alkyl-4-sulfamoylphenyl)maleimiden sollen die Eigenschaften von N(N-Acetyl-4-sulfamoylphenyl)-maleimid (Merz,H.et al,1965, und Holbrook,J.J.et al,1966
und der N-Alkylmaleimide (Heitz,J.R.et al,1968, und Anderson,B.M
et al,1970) vereint werden. Unter der Betrachtungsweise von
Simon,Z.(1974), ergäbe dies folgendes Bild:

Die Affinitätsdifferenz ΔG_i zwischen dem Erkenner A_o (Maleimi und dem Effektor B_o (bestimmtes zu untersuchendes Enzym) dürfte groß genug sein, um eine hinreichende Spezifität zu garantieren. Es dürfte eine ausreichend große 'Erkennungsregion' (Kontaktregion vorliegen für eine hohe Spezifität. Im Molekül liegt ein zusätzliches Teilstück für eine Stabilisierung der Erkennungsregio vor, die Reaktivität ist hoch genug, um das Reagens nicht als Substrat kompetiven Hemmer wirken zu lassen. Genügend intermolekulare Kräfte können zur Wirkung kommen- beruhend auf Hydrophobizität (Lipophilie), aromatischem Charakter (mögliche Charge-Transfer-Wechselwirkung, wie zwischen aromatischen Nitroverbindungen oder Chinonen und z.B. Tryptophanresten) und Wasserstoffbrückenbindung.

B.Ergebnis der Arbeiten mit Thioharnstoffs und Thiouracils
(Sulfensäurereagentien).

1.Stabile Sulfenyljodide_

Der Grund für die Einführung des Jods in die Untersuchungen von Protein-SH-Gruppen liegt in der Stabilität der gebildeten Sulfenyljodide in biologischem Material und der leichten Nachweisbarkeit des Umsetzungsgrades (UV-Spektrum von J_z , J^-).

So konnte Fraenkel-Conrat, H. (1955), zum 1. Wal ein stabiles Sulfenyljodid im Tabakmosaikvirus durch Jodtitration der SH-Gruppen und eine nachfolgende Abfangreaktion mit Cystein identifizieren:

TMV-SH+J2 TMV-SJ GyrSH TMV-SS-Cys+HJ

In einer ganzen Reihe von Proteinen, wie z.B. &-Lactoglobulin (Cunningham, L.W., Nuenke, B.J., 1959 und 1960a), Glycerinaldehyd-phosphatdehydrogenase (Parker, D.J., Allison, W.S., 1969) und Streptokokkenproteinase (Liu, T.J., 1967) wurden stabile Sulfensäurederivate erzeugt und nachgewiesen. Es gibt eine wachsende Zahl von Hinweisen dafür, daß die Stabilität dieser Derivate gegen Hydrolyse durch eine lipophile Umgebung bewirkt wird und Thiole wahrscheinlich bevorzugt in lipophile Regionen der Protei struktur eingebettet sind. Diese Tatsache ermöglicht generell den Nachweis jener Gruppen über geeignete Sulfensäurederivate und spezieller Abfangreagentien.

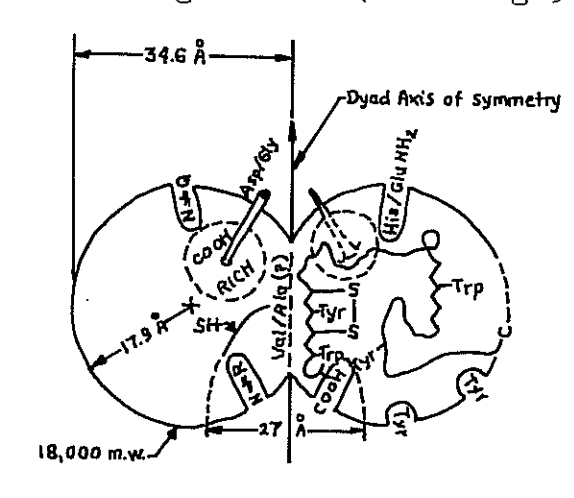
2.B-Lactoglobulin

Lactoglobuline können aus Kuhmilch (und der Milch anderer Paarhufer) leicht kristallin hergestellt werden. Sie werden immer wichtiger als Modellsubstanzen physikalisch-chemischer und auch biochemischer Untersuchungen, dies beruht zum größten Teil darauf, daß mit diesen fast vollständig bekannten globuläre Proteinen mit ca. 10 bis 15 %α-Helix-Bereichen (Timasheff, J.N. et al,1966), Methoden zur Untersuchung weniger bekannter oder unbekannter Partikel getestet und Ergebnisse der Untersuchung unbekannter Partikel anhand des Erfahrungsmaterials leichter

gedeutet werden können.

Eine umfassende Zusammenfassung des Kenntnisstandes über ß-Lactoglobulin bis 1966 gibt McKenzie, H.A. (1967). Zwei genetisc Varianten, ß-Lacctoglobulin A und B sind seit langem durch Elektrophorese und Amminosäureanalysen charakterisiert. In neuerer Zeit wurden zwei weitere Varianten C und D entdeckt (Bell, K., 1962; Grosclande, F., 1966).

Die Arbeiten von Green, D.W. und Aschaffenburg, R. (1959), Townend, R. et al (1961, 1969), Tanford, Ch. und Taggart, V.G. (1961), Timasheff, S.N. und Townend, R. (1964), Dunnill, P. und Green, D.W. (1965), Frank, G. und Braunitzer, G. (1967, 1968), Basch, J.J. und Timasheff, S.N. (1969), Braunitzer, G. et al (1972), Waissblth, M.D. und Grieger, R.A. (1974), vervollständigen das Bild von B-Lactoglobulin (dazu Fig. 3).



B-LACTOGLOBULIN

FIG. 3. Schematische Darstellung der gefolgerten strukturellen Merkmale der genetischen Varianten von Rinder β -Lactoglobulin.

Die Localisierung der -SH und -SS-Gruppe gelang Mainferme, F. et al(1971), Martial, J. et al(1971), Gomez, G. P. et al(1971), McKenzie, H. A et al(1972), McKenzie, H. A. und Shaw, D. C. (1972). Wichtig ist dabei, daß die SH-Gruppe ihren Platz wechselt: von 68 auf 70 und umgekehrt, was auch einen Wechsel der Disulfidbrücke beinhaltet (57 auf 68 oder 57 auf 70, Fig. 4). Die SH-Gruppe soll sich mehr in lipophiler Umgebung aufhalten, obwohl

sie noch bei der Dimerisation und Weiterassoziation eine Rolle spielt.

Das von Kessler,E. und Brew,K.(1970), sowie Bell,K.et al(1970 gefundene Schweine 'ß-Lactoglobulin' (Variante A und B) zeigt dies deutlich. Im Unterschied zum Wiederkäuer ß-Lactoglobulin hat es keine SH-Gruppe und zwei Cystin-Reste. Unter allen Bedingungen existiert nur ein monomeres und es kann keine Konformations-änderung nahe pH7 eingehen. Auch sein Verhalten in Harnstoff ist völlig verschieden von dem der Wiederkäuer ß-Lactoglobuline.

Ein Denaturierungseffekt von Harnstoff an Rinder-A-Lactoglobul

in saurem Bereich (pH3,5 und 5,2 sowie höher) tritt erst bei 5 M Harnstoffkonzentrationen ein (McKenzie, H.A. und Ralston, G.B. 1973, Fig.5).

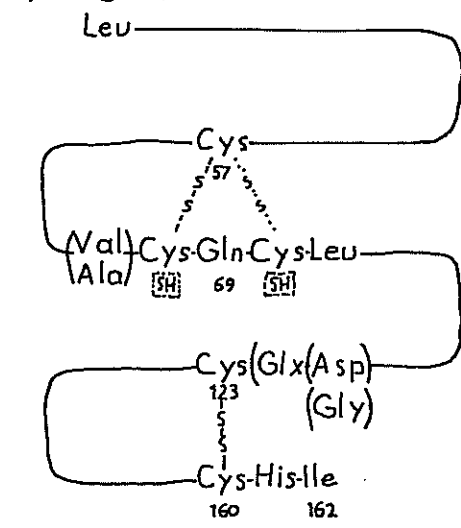


Fig. 4. Schematische Darstellung der monomeren Kette von Rinder β-lactoglobulin A., gezeigt die Lobalisation der Thiolgruppe und der Disulfide-Brücke. Es gibt eine S-S-Brücke von 123 zu. 160. Eine Form (...) hat Gys-SH an 68, mit der zweiten S-S-Brücke von 57 zu 70. Die andere Form (...) hat Gys-SH an 70, mit der zweiten S-S-Brücke von 57 auf 68.

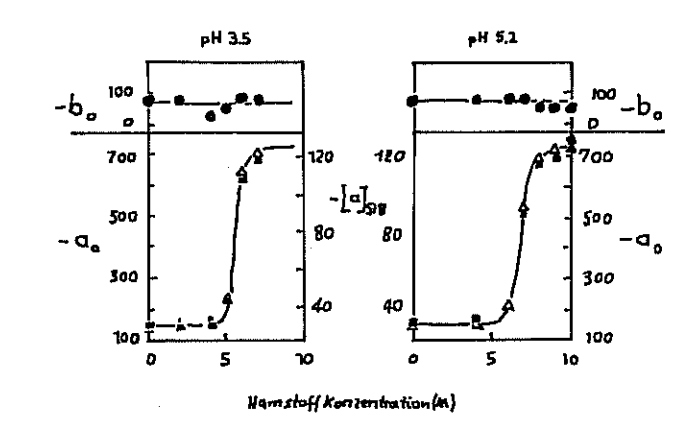


FIG. 5. Effekt der Harnstoffkonzenbration auf die spez. Rotation bei 578 nm, [ar]s78(△), und die Brameter ao (■) und bo (●) auf die Moffitt-Yang Gleichung (1956) zu dem Ende der Anfangs Reaktion von Rinder B-lactoglobulin B bei pH 3.5 und 5.2.

Zu einem in dieser
Arbeit noch auszuführenden
ersten Test mit den zu synthetisierenden lipophilen
Sulfenylagentien , erschein
Rinder-ß-Lactoglobulin das
ideale modellsubstrat zu
sein (stabiles Sulfenyljodid — SH in lipophilem
Bereich).

3. Bisherige Arbeiten mit Sulfenylagentien an A-Lactoglobulin-Sulfenyljodid

Infolge der Arbeit von Fraenkel-Conrat, H. (1955), erarbeiteten Cunningham, L.W., Nuenke, B.J. (1960b, 1961), und Cunningham, L.W. (1964), mit B-Lactoglobulin als Modellsubstrat ein Verfahren

zur SH-Gruppenbestimmung über Sulfenyljodid.

Sie setzen ß-Lactoglobulin bei pH6,1 und 5° C mit o,2 N Jodlösung in o,05 M KJ um zum Sulfenyljodid - mit etwas Unterschuß an Jod, zur Vermeidung einer J_3^- -Bildung (Fig.6 und 7), welche die schwache charakteristische Absorption des Sulfenyljodids bei 355 mm verdecken würde.

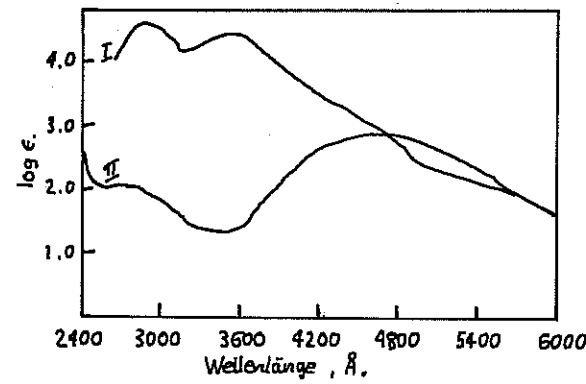
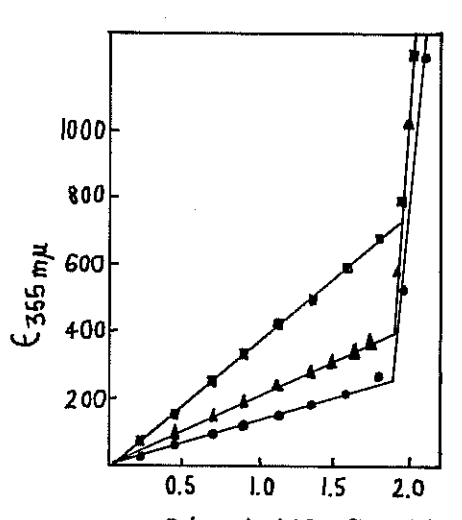


Fig. 6.—Molare Extinktionskoeffizienten vom Trijdide Ion und
Dod in Wasser I, Trijdide Ion; II, Jod

A.D. Awtrey and P.E. Comick (1951)



meq I /mmole LACTOGLOBULIN

Fig. 7. Titration von ß-Lactoglobulin wit J₃ bei pH6.1

und 5°in der Gegenwart von verschiedenen konzentrationen
an J: (*), 0.05 M KJ; (*), 0.2 M KJ; (**), 0.8 M KJ.

LB-Lactoglobulin]= 21,4 × 10⁻⁷ mol/3ml.

a)
$$P-SH+J_3^{\Theta} = [P-SJ_2]^{\Theta}+J^{\Theta}+H^{\Theta}$$

$$P-SH+J_2 = P-SJ_3^{\Theta}+2J^{\Theta}+H^{\Theta}$$

$$+J^{\Theta}$$

$$D^{\Theta}+J_2 = J_3^{\Theta}$$

Die PSJ-Form ist bevorzugt in 0,2 M KJ, in 0,8 M KJ ist die PSJ2-Form bevorzugt. In einer typischen physiol. Lösung darf nur wenig PSJ2 erscheinen.

Gemessen wurde auch die Bildung von H⁺ bei der Jodoxidation (Cunningham, L.W., Nuenke, B.J., 1961).

Die Temperatur von 5°C garantiert eine hinreichende Stabilität des Sulfenyljodids für die anschließende Abfangreaktion.

Das Sulfenyljodid fingen sie unter Beobachtung der Absorptionsänderung bei 355 mm mit verschiedenen Reagentien ab und stellten
fest, daß Thiouracil und Thioharnstoff die am besten reagieren-

den Reagentien seien - unter Bildung gemischter Disulfide(Fig.8):

a) P-SJ +
$$H_2N - C - NH_2 \longrightarrow P-SS - C - NH_2 + H^{\oplus} + J^{\oplus}$$

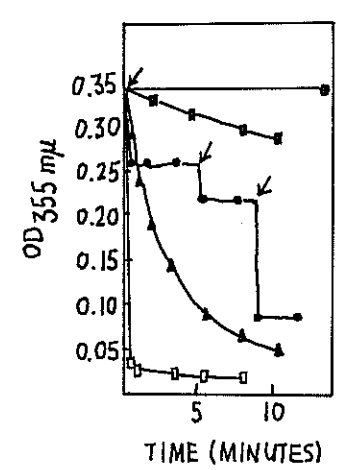


FIG. 8.—Der Abfall der Absorption von β-lactoglobulin sulfenyl iodid (OD355) als Resultat seiner Reaktion mit verschiedenen Reagentien. (a), SCNT, 49×10⁻⁴M bei 1. Addition, 38×10⁻⁴M totale Konzentration nach 2. Addition, 588×10⁻⁴M totale Konzentration nach 3. Addition; (a), Mercaptoäthonol, 20.8×10⁻⁴M; (d), Thiouracil, 10.4×10⁻⁴M; (a), Thioharustoff, 77.0×10⁻⁴M, pH 6,1, 0.2 MK), 5°. [β-lactoglobulin sulfenyl iodid]=8.1×10⁻⁴M.

Auch hier wurde die H⁺-Bildung mittels Titration gemessen (Cunningham, L.W., Nuenke, B.J., 1961).

Die Bildung des Endproduktes (gemischtes Disulfid) aus b) wurde am Umsatz mit [2-14] Thiouracil und anschließender Fraktionierung an Sephadex G-25 verfolgt.

Sie beschreiben die Abfan reaktion als Kinetik 2.Ordnung: -\left[\frac{d(P-S)}{dt}\right] = k_z [P-S] [R-SH]

Die von ihnen getesteten

(Tafel I), am besten reagierentsten eingestuften Reagentien, welche auch in die Nähe äqumolarer Umsetzungsgrade kamen, enthielten alle die Struktur N-N-C-, welche die Fähigkeit besitzt in der alternativen Thiol-Form N-C- zu existieren. Es ist nicht bekannt, welche Form das Sulfenyljodid angreift. Aufgrund des pk_g -Wertes der potentiellen SH-Gruppe dieser Agentien, $pk_g>8$, erscheint ihnen, im Vergleich zum angewandten pH-Wert, pH6,1, die Thion- und nicht die Thiol-Form die reaktivere Spezies zu se

TAFEL I Vergleich der Geschwindigkeitskonstanten für die Reaktion von Verschiedenen Reagentien mit BLACTOGLOBULIN SULFENVL IODIDEA

Getestete Reagentien	Kon- zentration Getested, M X 104	k ₂ (liter mole- min-l)
1-Methyl-2-mer- captoimidazole	2.1; 10.4	>3000
Goitrinb	10.4	> 1100
Thiourea	27.3	830 ± 110
Th iouracil	10.4; 24.3	270 ± 30
Propylthiouracil	1Ó.4	78 ± 8
Mercaptoethanol	487; 208	8.0 ± 4
CN-	433; 43.3	35±1
S O ₂ -	43.3; 533	3.7 ± 1
Cysteine	249	1.7 ± 1.2
Alanine	200	<0.1
H ₂ NOH	43.3	83 ± 20
Imidazole	1300	<0.1
U 91894	10.4	< 0.1

a Die Sulfenyljodid-Konzentration war zwischen 6.1 und 8.7 × 10⁻⁴ M in allen Versuchen Alle Versuche wurden ausgeführt bei 5°, pH6.1,0.2 M K) Puffer. ^b 5-Vinyl-2-Thiooxazolidon. ^c 1,1,3-Tricyano-2-amino - 1-propene.

Es erscheint uns sinnvoll, in Sicht auf die mehr lipophile Umgebung der Thiol-Gruppe in ß-Lactoglobulin und der Reaktivität der N-C-Struktur, diese Agentien, Thioharnstoff sowie Thiouracil, in Blick auf eine größere Lipophilie abzuwandel um den Einfluß der gesteigerten Lipophilie auf die Reaktivität und den Umsetzung grad an Sulfenyljodid (oder anderer Sulfenylderivate) in lipophiler Umgebung unter-

suchen zu können. Als Modellsubstanz dient B-Lactoglobulin. Falls das erwartete Ergebnis - größere Reaktionsfähigkeit und besserer Umsetzungsgrad (mehr äquimolar) - gefunden wird, sollen diese Agentien zur Untersuchung anderer weniger bekannter Spezies verwandt werden.

4. Eigene Versuche mit lipophilen Sulfensäureagentien an B-Lactoglobulin-Sulfenyljodid

Es wurden eine Reihe von Sulfensäureagentien wachsender Lipophilie synthetisiert: Es waren dies N-n-Alkyl-

H₂N-C-NHR R=Alkyl (bis Ca) N-n-Alkyl-Thioharnstoff

"我们的这样,我们就是我们的自己,我们就是是自己的事情,我们就是我们都不是一个人,我们就是我们的

"我们的一点,我们的一个有一点,我们就看到这样的"我们"的一点,"我们"的一点,这个一个一个一个一个一个一个一个一个一个一点,不是一个一点,"我们"的一点,"我

officient our green which is a former region from a factor of the complete of

。 1977年 - 《大学·美国》(李文章)李文章(1985年1977年1978年)(1977年19月1日 - 第19月末日 - 1977年(1987年19月1日 - 1987年1

rent de la companya d

$$S = C N - C'$$

$$N - C$$

$$H$$

$$R$$

Alky1-2-Thiouracile und zwar die ungeraden Alkylderivate bis zum Nonyl-6-n-Alkyl-2-Thiouracil Derivat (TeilII und III

Thioharnstoffe und 6-n-

dieser Arbeit).

Analog der Arbeit von Cunningham, L.W. (1964), wurden diese Agentien getestet (III). Das Ergebnis der Versuche soll hier zum direkten Vergleich mit der Arbeit von Cunningham - gebracht werden, mit anschließender Diskussion.

Bei allen Wessungen wurden die gleichen Bedingungen angewandt dabei auch jeweils dieselben Konzentrationen, sowohl an Protein, wie auch an Sulfenylagens (letzteres mit 80 % Überschuß).

Probleme bereiteten zunächst einmal, wie erwartet, die steigende Schwerlöslichkeit der längerkettigen Derivate in Wasser und Wasser-Alkohol-Gemischen, die der Uracils mehr, als jene der Harnstoffe. Der Alkohol-Gehalt der Reaktionsmischungen war, einschließlich der Stopped-Flow-Wessungen, nie höher als 1,7 %. Thiouracil und Methylthiouracil waren in Wasser, wie auch Alkohol schwerlöslich, weshalb für die Messungen die gesättigten Lösungen eingesetzt wurden (Teil III).

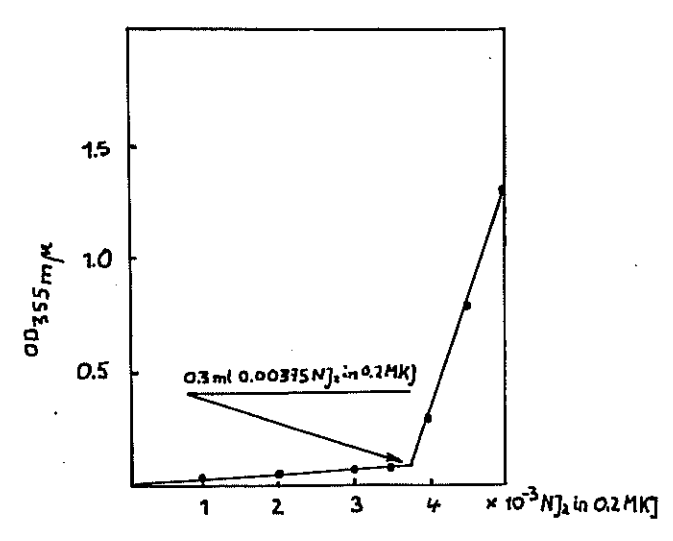
Der N-n-Nonyl-Thioharnstoff und das 6-n-Heptyl-2-Thiouracil, beide in Alkohol bei Raumtemperatur löslich, fielen beim Kontakt mit der wäßrigen Reaktionslösung bei 5°C wieder teilweise aus (das 6-n-Nonyl-2-Thiouracil konnte aus diesem Grund nicht vermessen werden), doch auch ihre Reaktionen aus heterogener Phase können in die Betrachtungsweise mit einbezogen werden. Ein Wechsel des Reaktionsmediums konnte nicht vorgenommen werden,

da B-Lactoglobulin sich nicht in Alkohol löste-- außerdem wäre ein Wechsel des Mediums auch insofern von Nachteil, als B-Lactoglobulin in alkoholischer Lösung sich anders verhalten würde als in Wasser.

Die Reaktionen wurden bei 5°C durchgeführt. Außer den Abfangreagentien waren alle Substrate auf 5°C gekühlt.

Ein anderes Problem war die genaue Messung der sehr schnellen Reaktion von Thioharnstoff und N-n-Heptyl-Thioharnstoff mit dem Proteinsulfenyljodid. Wir sind deshalb auf 'Stopped-Flow'-Messunge (Aminco DW2-UV-Spektrometer mit zugehörendem Stopped-Flow-Zusatz übergegangen.

Mit unserer apparatellen Anordnung sind Protein-Konzentration bis ca. 5×10⁻⁵M gerade noch zu vermessen, da die starken Schwank ungen der Grundlinie, bei einer größeren Verstärkung (notwendig bei noch kleineren Konzentrationen) als der verwendeten, die Meßwerte zu stark verändern.



Aus dem zeitlichen

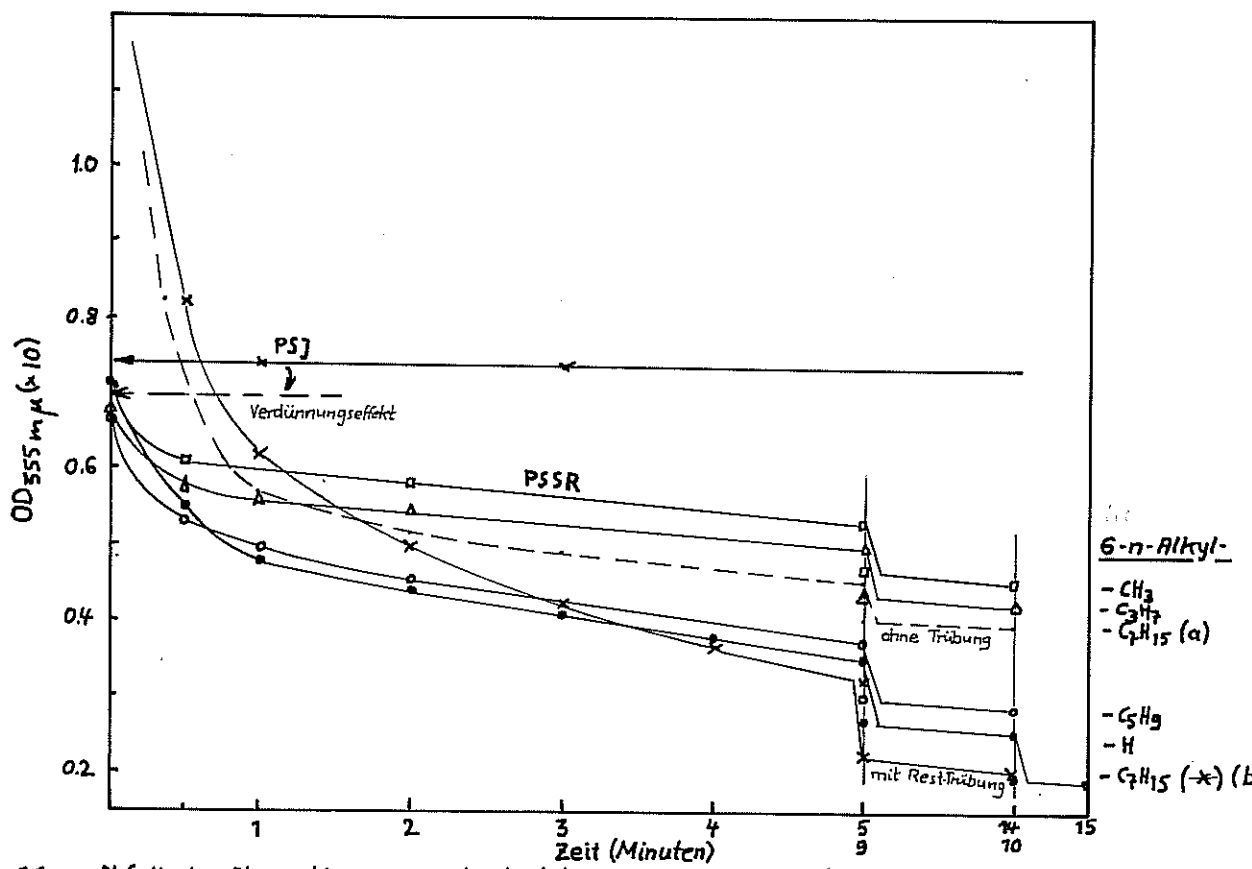
Verlauf der Abfangreaktionen
(Fig.10 und 11) konnten wir,
unter Annahme einer Reaktion
2.Ordnung, Geschwindigkeitskonstanten k2 berechnen:

Fig. 9. Titration von Rinder B-lactoglobulin mit]; bei pH 6.1 und 5°. 5.91 x 10-7 Mol Protein/27 ml, addiert 0.3 ml Portionen an Normal-Jod-lösung in 0.2 MKJ.

x = Umsatz an a und b;

$$X = [PS]_{o} \cdot \frac{\Delta OD_{PSJ_{o}}}{\Delta OD_{PSJ_{o}}} t \qquad \frac{\Delta OD_{PSJ_{d}} - OD_{PSJ_{d}}}{\Delta OD_{PSJ_{o}} - OD_{PSJ_{d}}} - OD_{PSJ_{d}}$$

Fig. 10. Abfall der Absorption von β-lactoglobulin sulfenyl iodid (OD355) als Resultat seiner Reaktion mit N-n-Alkyl-Thioharnstoff. Thioharnstoff Konzentrationen alle 3,25 × 10-4 m, Proteinsulfenyljodidkanz. 1,84-10-4 m, pH 61,0.2 MK).5°.



1 2 3 4 5 14 15

Zeit (Minuten) 9 10

Fig. 11. Abfall der Absorption von β-Lactoglobulin sulfenyl iodid (OD355) als Resultat seiner Reaktimit 6-n-Alkyl-2-Thiouracil.

Thiouracilkonzentrationen alle 3.25 × 10-4M, außer 6-n-Heptyl-2-Thiouracil (a) 1.62M;
Proteinkonzentration 1.84-10-4M; pH6.1;0.2M K); 59.

TAFELII Vergleich der Geschwindigkeitskonstanten und des Endumsatzes für die Reaktion der N-n-Alkyl-Thiohamstoffe und der 6-n-Alkyl-2-Thiouracile mit B-LACTOGLOBULIN SUIFENYLJODIO^a

Getestete Reagantien	Kon- zentration Getested, M × 704	Anfangs- k2 (liter mole-1 min-1)×10 ⁴	End- Umsai % 1	⊢r Min.
Thioharnstoff Methyl thioharnstoff Althyl thioharnstoff N-n-Pentyl thioharnstoff N-n-Pentyl thioharnstoff N-n-Heptyl thioharnstoff N-n-Heptyl thioharnstoff	3,25	10 54 3.0 1.6 2.3 20	85 82 88 94 97 100	2 2 2 1
Thiouracil Methylthiouracil 6-n-fropyl-2-Thiouracil 6-n-Pentyl-2-Thiouracil 6-n-Heptyl-2-Thiouracil	3.25	0.36 0,19 0.20 0,31 [\alpha,45]	63 36 41 60 [al}o]	10 10 10 10

a Die Sulfenyljodid-konzentration betrug 1.84·10-4 M bei allen Versuchen. Alle Versuche wurden ausgeführt bei 5°, pH6.1,0,2 MK) Puffer.

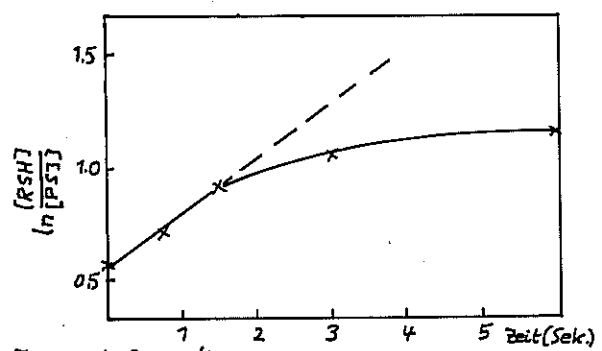


Fig. 12. In [RSH]/[PS]] - Zeit-Diagramm der Realtion von B-Lactoglobulin-Sulfenyljodid mit Thiohamsloff.

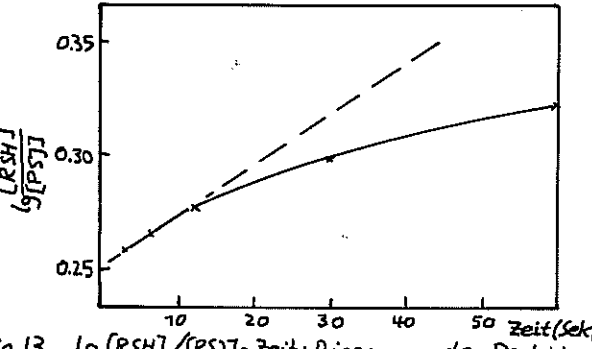


Fig. 13. lg [RSH] /[PS)] - Zeit · Diagramm der Reaktion von B-Lactoglobulin · Sulfenyljodid mit Thiouracil.

Aus der Berechnung ergab sich, daß die Reaktion zwar in den ersten 2-3 Sekunden angenäert nach 2.0rdnung verläuft (danach auch die 'Anfangs-Geschwindigkeitskonstanten k_2 ', Tafel II), aber sich dann erheblich verlangsamt (Fig. 12 und 13) und keineswegs mehr durch eine Kinetik 2.0rdnung zu beschreiben ist, wie dies von Cunningham, L.W. (1964) angegeben wird.

Im Rahmen dieser Arbeit kann dieser Effekt, d.h. die genaue Kinetik dieser Reaktion, nicht geklärt werden. Die Kompliziertheit der Reaktion wird deutlicher, wenn man zum Vergleich eine Enzym-katalysierte Peaktion heranzieht (was wohl in Anbetracht der Konzentrationen und der Geschwindigkeit unserer Reaktion gerechtfertigt erscheint):

$$S + E \xrightarrow{k_{+1}} E \cdot S \xrightarrow{k_{+2}} E \cdot P \xrightarrow{k_{+3}} E + P$$

$$[S = Substrate, E = Enzym, P = Produkte]$$

Als E'kann in unserer Reaktion eine der -SJ-Gruppe benachbart Stelle auf dem ß-Lactoglobulinsulfenyljodid fungieren. Der Beweis für diese Annahme dürfte in den folgenden Ergebnissen zu finden sein.

Das Ziel unserer Arbeit lag darin, eine Abhängigkeit der Reaktionsgeschwindigkeit von der Lipophilie unserer Reagentien zu finden.

Das die Geschwindigkeit der Reaktion tatsächlich von der Lipophilie unserer verwendeten Agentien abhängt, ist das wichtigste Ergebnis unserer Bemühungen. Die Geschwindigkeit der Abfangreaktion fällt zunächst, bei den Thioharnstoffs von o bis 4 C-Atomen der Alkylseitenkette – bei den Thiouracils von o bis um dann wieder anzusteigen (Fig.14):

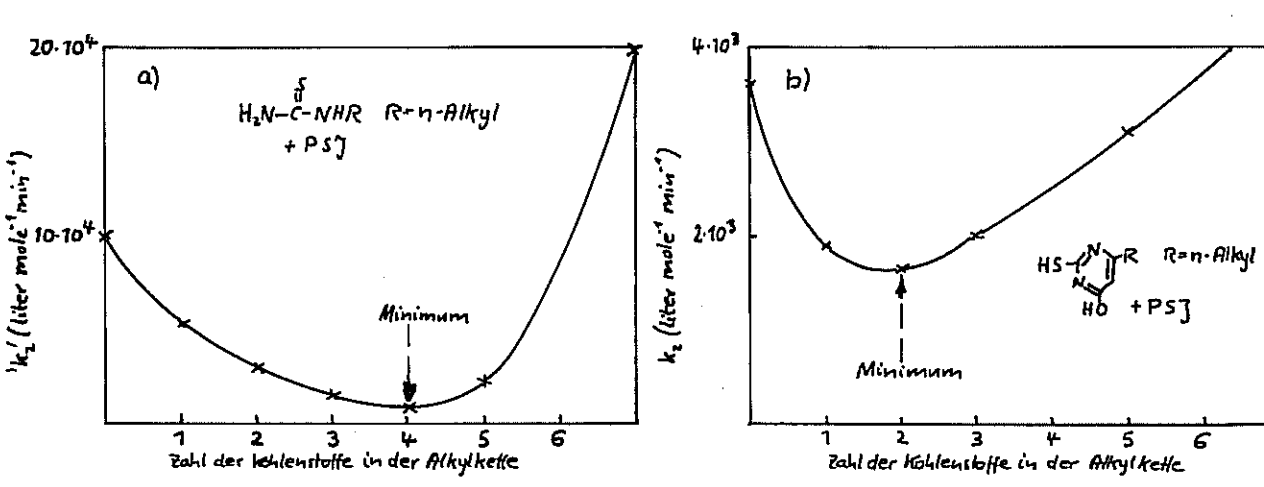


Fig. 14: Abhängigkeit der Reaktionsgeschwindigkeit von der Alkylseitenkette (Lipophilie) der getesteten Thioharnstoffe (a) Thiouracile (b)

Die Reaktion verschiebt sich außerdem immer mehr auf die Seite der Endprodukte, das n-Heptyl-Thioharnstoff-Disulfid des ß-Lactoglobulins ist nach einer Minute bereits zu 100 % gebildet

In der Reihe der getesteten Substanzen (Thioharnstoffe und Thiouracle) an ß-Lactoglobulin-Sulfenyljodid, erwies sich das Abfangreagens n-Heptyl-Thioharnstoff als das optimalste:

Es hat nach einer Minute nicht nur zu 100 % das Sulfenyljodid abgefangen, es reagiert auch doppelt so schnell wie

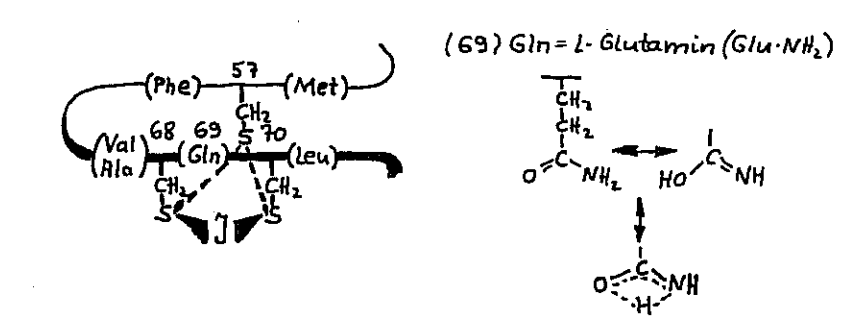
I der Thioharnstoff selbst.

Control of the Contro

In der Reihe der Thiouracils alleine, dürfte das beste Reagens ebenfalls das n-Heptyl-Derivat sein, obwohl hier eine heterogene Reaktion stattfindet: Es reagiert schneller als das Thiouracil und die Reaktion ist stärker auf der Seite der Endprodukte.

Um diese Ergebnisse deuten zu können, muß noch einmal kurz auf die -SJ-Gruppe in der Struktur des ß-Lactoglobulin-Sulfenyl-jodids eingegangen werden:

Wie schon gesagt, enthält ß-Lactoglobulin eine Disulfidbrücke und eine SH-Gruppe (das Disulfid entweder von 57 auf 68 oder von 57 auf 70 - was einen Wechsel der SH-Gruppe von 70 auf 68 beinhaltet) und zwar in lipophiler Umgebung. Durch Jod wird die SH-Gruppe zum Sulfenyljodid oxidiert. Das Jod ist nun entweder Position 68 oder 70 zuzuschreiben:



Phe, Met, Val, Ala, Leu sind Aminosäuren mit hydrophoben Seitenketten, nur Gln enthält noch eine Seitenkette mit hydrophilen Eigenschaften.

Man könnte sich nun vorstellen, daß die (Gln)-Seitenkette in Position 69 aufgrund ihrer mesomeren Struktur in die Wechselwirkung zwischen Position 68 und 70 mit einbezogen wird. Die langsame Zersetzung des Sulfenyljodids könnte damit erklärt werde

Auch unsere Ergebnisse können anhand der lipophilen Umgebung und dieser Strukturbeziehungen erklärt werden.

Beide Agentien, der Thioharnstoff ebenso wie das Thiouracil, sind in der Lage aufgrund ihrer mesomeren Strukturen die Funktion von (Gln) zu ersetzen und stabile Bindungen mit dem Sulfenylsäurekation einzugehen.

Das die Reaktionsgeschwindigkeit der beiden Agentien mit dem Sulfenyljodid zunächst bei Anwesenheit von Alkylseitenketten fällt, liegt an der Einschränkung ihrer Mesomeriemöglichkeiten (Enthiolisierung) und der damit verbundenen Einschränkung der Acidität der potentiellen SH-Gruppe.

HN(H) Protonen im
$$N(H)$$
 $\delta=6.9$ ppm (2 Rot.)

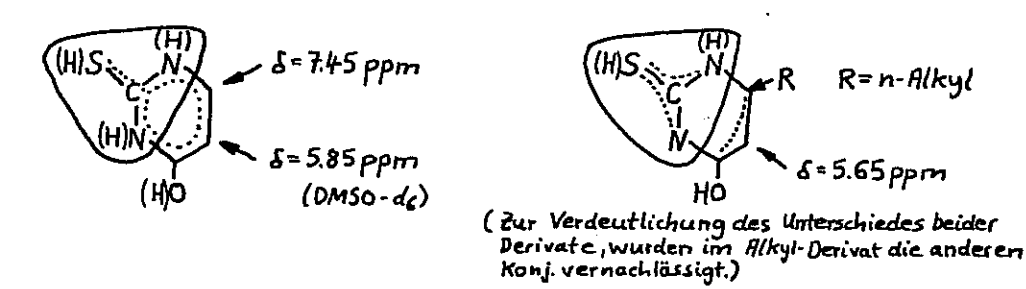
NMR (0M50-d₆)

HN $S(H)$ alle bei $\delta=7.1$ ppm $R=N$ $S(H)$

(H)

 $H = 7.6$ (1 Prot.)

Durch die SH-Gruppe sollten wässrige Lösungen sauer reagieren diese sind aber neutral – Werner, A. (1912) nimmt an, daß ein inneres Salz der Isoform vorliegt (Houben-Weyl, 1955a): $HN=C_{\varsigma\Theta}^{NH_3}$



Das der Thioharnstoff eine viel höhere Reaktionsgeschwindigkeit hat als das Thiouracil liegt an dem Strukturunterschied
beider Agentien. Durch die Nachbarschaft der vinylogen CO-Gruppe
(Einspannung des Harnstoffs in einen 6-Ring) kann der 'Thioharnste
nicht mehr so stark mit dem ß-Lactoglobulin-Sulfenyljodid-System
in Wechselwirkung treten, seine 'partielle Protonendonorfunktion'
ist stark abgeschwächt, durch die hinzukommende Alkylkette wird
diese noch mehr vermindert.

Die Steigerung der Reaktionsgeschwindigkeit in wässriger Lösung bei zunehmender Lipophilie der Agentien, liegt in der hydrophoben Wechselwirkung der lipophilen Seitenkette dieser Agentien mit der lipophilen Umgebung des Sulfenyljodids. Auf dieser Wechselwirkung beruht auch die Verschiebung des Umsatzes zugunsten der gewünschten Endprodukte.

Die Abstoßungskräfte zwischen lipophilem Rest des Agenses und Wasser beschleunigen den Übergang des in der Nähe des Protein befindlichen Agenses in den lipophilen Bereich des Proteins (Erschwerung der umgekehrten Reaktion). Eine intramolekulare Micellenbildung bei höherer Alkylseitenkette dürfte das Agens noch unpolarer machen und dadurch die Abstoßungskräfte noch vergrößern (dazu Overberger, C.G. und Sannes, K.N., 1974).

Das Ergebnis der Wechselwirkungen:

n-Heptyl-Thioharnstoff, a) reagiert doppelt so schnell wie der Thioharnstoff, b) Umsatzende nach ca. einer Minute bei 100 % Endprodukt.

Auch die der Alkylseitenkette folgende NH-Gruppe der n-Alkyl-Thioharnstoffe kann zur hydrophoben Wechselwirkung beitragen.

Eine Beeinflussung der Reaktionsgeschwindigkeit durch Denaturierungseffekte kann ausgeschlossen werden, da die Konzentrationen hierfür zu gering sind (McKenzie, H.A. und Ralston, G.B. 1973). Eine Beeinflussung durch intermolekulare Micellenbildung (Jencks, W.R., 1969) ist aus denselben Gründen ebenfalls auszusschließen.

Durch die Verwendung des sehr schnell zu 100 % reagierenden n-Heptyl-Thioharnstoffs als Abfangreagens, kann die Temperatur der Messungen bis auf 37°C erhöht werden. Der Abfall der Extinktion durch diese Temperaturerhöhung zieht allerdings eine kleinere Sensibilität nach sich. Durch Anwendung eines Integrationsverfahrens kann die Meßgenauigkeit allerdings auch wieder etwas gesteigert werden.

3 durch und Thy unthandown han end keine kention auch die Wahrelander eine Report heile der koten und dadurch Teckel der Synthydolpent auszuhlich.

A. Synthese der $N^4 - (N^1 - Alkyl - sulfamoylphenyl) - maleimide$

II. Synthese der lipophilen Thiol- und Sulfensäureagentien

1.Gesamtsyntheseweg

医皮膜炎 医多性性 医电流电流 医多种性畸形 医二重性动物 医多性性 医电压性 医电压性 化二氯化二氯

Als Ausgangsprodukt dient bei allen Darstellungen 4-Acetaminobenzolsulfochlorid, welches in Hinsicht auf eine radioaktive

Warkierung nach den von Merz, H. et al(1965) erarbeiteten vorschriften, für seine mikropräperative Synthese von N(N-Acetyl 4-sulfamoylphenyl)-maleimid-35 (mit einer Endausbeute nach Umkristallisation von ca. 15 % über acht Synthesestufen) aus trägerfreiem Sulfat, hergestellt werden kann:

$$H_{2}N \longrightarrow \bigoplus_{H_{2}SO_{4}} \bigoplus_{NH_{3}HSO_{4}} \bigoplus_{-H_{2}O} \bigoplus_{H_{2}N-O} \bigoplus_{SO_{3}H} \bigoplus_{-H_{2}O} \bigoplus_{H_{2}N-O} \bigoplus_{H_{2}N-O} \bigoplus_{SO_{3}K} \bigoplus_{-H_{2}O} \bigoplus_{H_{2}N-O} \bigoplus_{SO_{2}Cl} \bigoplus_{H_{3}CCONH-O} \bigoplus_{SO_{2}Cl} \bigoplus_{SO_{2}Cl} \bigoplus_{H_{3}CCONH-O} \bigoplus_{SO_{2}CCL} \bigoplus_{H_{3}CCONH-O} \bigoplus_{SO_{2}CCL} \bigoplus_{H_{3}CCONH-O} \bigoplus_{SO_{2}CCL} \bigoplus_$$

Die Umsetzung wird in Anlehnung an die Vorschriften von merz, H.et al (1965) durchgeführt:

$$H_{3}CCONH - \bigcirc -SO_{2}CL \xrightarrow{H_{2}NR} H_{3}CCONH - \bigcirc -SO_{2}NHR \xrightarrow{[H^{\textcircled{\scriptsize M}}], H_{2}O} H_{2}N - \bigcirc -SO_{2}NHR$$

$$= \frac{\mathbb{I}^{0}_{1}}{\mathbb{I}^{0}_{2}} + HOOCCHCHCONH - \bigcirc -SO_{2}NHR \xrightarrow{\mathbb{I}^{0}_{2}COOH} + \frac{\mathbb{I}^{0}_{2}COOH}{\mathbb{I}^{0}_{2}COOH} + \mathbb{I}^{0}_{2}N - \mathbb{I}^{0}_{2}N - \mathbb{I}^{0}_{2}NHR$$

$$= \frac{\mathbb{I}^{0}_{2}COOH}{\mathbb{I}^{0}_{2}COOH} + \mathbb{I}^{0}_{2}N + \mathbb{I}^{0}_{2}NHR$$

$$= \frac{\mathbb{I}^{0}_{2}COOH}{\mathbb{I}^{0}_{2}COOH} + \mathbb{I}^{0}_{2}NHR$$

2.Synthese_der_N4-Acetyl-N1-n-Alkylsulfanilamide_

in the company of the control of the

The second of th

(4) March 1975年 (1975年) 1976年 (1976年) 1976年 (1976年) 1976年 (1976年) 1976年 (1976年) 1976年 (1976年) 1976年 (1976年) 197

en de la composition Anno 1908 de la composition de la comp

and with the series of the contract of the con

"看一大大,我们也不是一个一样,我们的一直一直的一个一块,一块好好,这个一块,不是一个一点,他自己走走

and the state of t

en de la companya de

organismos in terrorios de la Lacia de la Caracteria de la Caracteria de la Caracteria de Lacia de Lacia de La

in the first of the contract o

Als beste Methode erscheint uns die Umsetzung des 4-Acetaminobenzolsulfochlorids mit einem schwachen Überschuß (15 %) an primären n-Alkylamin in Gegenwart von Natriumcarbonat (Houben-Weyl,1955b):

$$H_3CCONH-O-SO_2CL+H_2NR$$

$$\frac{\sqrt[4]{2}Na_1Co_3}{-Na(L_1^{-1}/LCO_2)-\sqrt[4]{2}H_2O}$$
 $H_3CCONH-O-SO_2NHR$

$$R=n-Alkyl$$

Treibende Kraft der Umsetzung ist die HCl-Bildung mit anschließender CO₂-Entwicklung und dessen Entweichen aus der Reaktionsmischung.

Die Umsetzung erfolgt in wässrigem Medium zwischen 30 und 40°C. Bei schlecht löslichen Aminen (ab dem n-Pentylamin) in Gegenwart von Alkohol.

Das wässrige Medium kann deshalb angewendet werden, weil das Sulfochlorid relativ stabil gegen eine Hydrolyse ist.

man and the second of the seco

。 "我我想到了一个人来说,我们就是一个人的人,我们就是这个人的人,我们就是这个人的人,我们就是这个人的人,我们就是这个人的人,我们就是这个人的人,我们就

encourage of the control of the cont

Der Umsatz kann bis zum Pentyl-Derivat mittels wässriger NaOH überprüft werden. Man rührt solange bei 30°C, bis eine Probe in 2 N NaOH klar löslich ist, wobei das gebildete Na-Salz mit wässriger HCl wieder fällbar sein sollte. Auch die Reinigung kann über die Na-Salze mit anschließender Umkristallisation aus Alkohol-Wasser oder Alkohol erfolgen.

Ab dem Pentyl-Derivat muß eine entsprechend lange Reaktionszeit (bis zu 20 Std.) einen vollständigen Umsatz garantieren.

Die relativ sauber anfallenden Produkte, Ausbeute um die 80 % (DC, Smp., Analyse), können ohne Umkristallisation in die nächste Stufe eingesetzt werden.

3. Verseifung der N4-Acetyl-N1-Alkylsulfanilamide zu N1-Alkylsulfanilamiden

Die Verseifung der N⁴-Acetyl-Derivate erfolgt in 18,5 %iger Salzsäure unter Rückflußtemperatur (bis 100°C; Merz, H.et al, 1965

$$H_3CCONH - O - SO_2NHR = \frac{[H^{\oplus}]_1 H_2O}{-CH_3COOH} + H_2N - O - SO_2NHR$$

$$R = n - H L kyl$$

Neutralisiert wird mit wässriger Na₂CO₃-Lösung unter Eiskühlung (d.h. bis pH6 - zur Vermeidung der Lösung des Verseifungsproduktes als Na-Salz).

Die Sulfamidbindung ist sehr stabil und unter den angewandter Bedingungen nicht spaltbar.

Die von Tanaka,Y.(1965) gefundenen charakteristischen IR-Frequenzen der S-N-Bindung in N^1 -Alkylsulfanilamiden (bis $-C_4$ können zur Charakterisierung der Verbindungen (bis $-C_9$ H₁₉) herangezogen werden.

Die sauber anfallenden Produkte, Ausbeuten um die 80 % (DC, Smp., Analyse) können ohne Umkristallisation in die nächste Stufe eingesetzt werden.

4.Darstellung der Maleinsäuremonoamide

Die Darstellung der Maleinsäuremonoamide erfolgt, ebenso wie die vorangegangenen Stufen, ohne wesentliche Schwierigkeiten.

TAFEL 皿

 $\mathcal{L}_{\mu\nu}$. The state of $\mathcal{L}_{\mu\nu}$ is the state of $\mathcal{L}_{\mu\nu}$. The state of $\mathcal{L}_{\mu\nu}$

and the second of the second o

ne de la composition La composition de la

CHARLES OF THE RESIDENCE OF THE STATE OF THE

1996年,我们就是一个大学的,我们就是一个大学的,我们就是一个大学的,我们们就是一个大学的。

and the second of the second o

 $(x,y) = (x,y) \cdot (x,y$

 ${f x}^{(i)}$. The first of the contract of the contract of ${f x}^{(i)}$

 (x_1, y_2, \dots, x_n) , (x_n, y_1, \dots, y_n) , (x_n, y_1, \dots, y_n) , (x_n, y_1, \dots, y_n) , (x_n, y_1, \dots, y_n)

 $((1, 1), \dots, (1, n), \dots, (1, n),$

the state of the state of

CH3CONH-CO-SO2NHR	Λ ₂ ος-{Θ		yŀ-N¹-Alky	ılsulph	anilamid	N-Acetyl-N-Alkylsulphanilamid aus N-Acetaminobenzolsulfochlorid	minobe	nzolsu	Hochlori	ۄ
	Molae		Ausbeute	Smp.	Molge-	2%	H%		N%	>
Eingesetztes Amin	wicht	Produkt	, o. %	`		ber. gef.	ber.	gef.	æ.	gef.
Monomethulamin	37.06	-N-Methul-	718	181	228.24	47.30 47.27	5.25	5.41	12.28	12.00
Dimethylomin	450R	-N'-Dimethul-	<u> </u>	135	242.26		5,78	5.80	11.53	14.50
P. Panulamin	59.71	-N-n-Probul-	02	132	256.33		6.24	94.9	10.90	10.94
i-Propylamin	59 11	-M-i-Propul-	20	160	256.33		47.9	6.3}	10.90	11.24
n-Pontulamin	47.48	-N-n-Pentul-	, 60 EF	128	284.35		7.03	1.29	9.84	9.65
n-Hanfulamin	115 22	-N*-n-Heptyl-	85	116	372.40	57.60 57.86	394	3.75	8.46	8.81
n-Nonylamin	143.27	-N-n- Nonyt	82	110	340.45	59.20 59.53	8.22	8.75	8.22	8.40

a Schmolzpunkte unkorrigiert

TAFEL IX

H,N,	H,N* <0> 502 NHR		N ⁻ - Alkylsulphanilamid aus N ⁻ Acetyl-N ⁻ Alkylsulphanilamid	rnilamid	aus N-	Acetyl-N	- Alkyls	ulpha	ni(an	וֹמ	
	Molae-		Ausbeute Smp.	Smp.	Molge-	7°C	u	H%.	7	N %	`
N*Acetyl-N*-Alkyl-		N. Alkyl-	%	°ć √⊪	wicht	ber. gef.	gef.	ber. gef.	gef.	ber.	gef.
-N-Methul-	228.24	N* Methyl-	82	110	186.24	45.10	45.10 45.30	533 5.64		15.03 1	15.22
-N-Dimothul-		N-Dimethul-	69	#	2007	48.00	48.22	6.00	6.21	14,00	14,09
. M. n. Propiil-		N-n-Propul-	67	85	214.33		49.41	653	6.91	13.05	12.23
-M" i - Propul-	25.52	N'- i-Propul-	99	113	274.33	50.40	49.82	6.53	6.67	13.05	13,33
-N. p. Pentul-	28435	N'-n-Pentul-	93 127	93 121 120-43 211 242.35 20% 54.40	# 242.35 E	ेंं 54.40	54.11	3.42	7.58	11.54	10.63
M' n-Hontul	312 40	N*-n-Heatul-	92 41⊈	92 115" 115-91 22272390.40 34° 57.60	₹230.40 §	€ 57.60	56.54	8.14	8.34	10.36	40.09
-N-n-Nopul-	340.45	-In-Non-u-N	92 (16	92 (16" 117-20321+ 298.45 50% 60.30	7 298.45 S	ं 60.30	59.13	87.	8.}}	9.38	3.15
if it is a		· · · · · · · · · · · · · · · · · · ·									1

Umgesetzt wird N^{1} -Alkylsulfanilamid mit Maleinsäureanhydrid in Aceton unter Ausschluß von Wasser bei 30 bis 40° C (Merz,H. et al,1965):

Der Grund, daß die Reaktion an der Benzol-NH2-Gruppe und nicht an der -SO2NH-Gruppierung stattfindet, liegt in der höheren Nucleophilie der -NH2-Gruppe. In dem dipolaren aprotischen Lösungsmittel Aceton kommt diese Nucleophilie voll zur Geltung. Der Übergangszustand wird außerdem durch das benachbarte Benzol stärker stabilisiert.

Die höheren n-Alkylderivate (C_5,C_7,C_9) fallen nicht so sauber an (DC, Smp., Analyse), sie enthalten noch Ausgangsprodukte. Ihre Reinigung erfolgt über die Na-Salze der Säuren (DC, Smp., Analyse).

Die Ausbeuten liegen bei 90 %.

5. Cyclisierung der Maleinsäuremonoamide

a. Dehydration, Versuche und Ergebnisse

Die Schwierigkeit der Gesamtsynthese besteht in der Cyclisier ung der dargestellten Monoamide zu den correspondierenden Maleimiden.

Bisher wurde keines dieser Imide dargestellt.

Das N(2-Sulfamoylphenyl)-maleimid beschreibt Kratzel und Ruis, H. (1966) als Zwischenprodukt bei seinen Synthesen. Es konnt in 7 %iger Ausbeute nach kurzem Zusammenschmelzen von o-Aminobenzolsulfamid und Maleinsäureanhydrid, mit einem Schmelzpunkt von 249-253°C(Zersetzung) aus Äthanol, isoliert werden:

Das Zusammenschmelzen von p-Aminobenzolsulfamid mit Maleinsäureanhydrid könnte zu einer wesentlich höheren Ausbeute an Maleimid führen: Das Sulfamid ist zu weit weg von der Maleinsäure Carbonylgruppe, um weiter reagieren zu können.

Die Cyclisierung des N⁴-Maleoyl-Sulfamids mit Essigsäureanhydrid in Gegenwart katalytischer Mengen Na-acetat bei 95-100⁰C (15 Minuten) ergibt das N(N-Acetyl-4-sulfamoylphenyl)-maleimid (Merz,H.et al,1965):

THE STATE OF THE S

the following the first of the control of the contr

Es bestand also wenig Hoffnung mit der gleichen Cyclisierungsmethode die nichtscylierten produkte zu erhalten. Vor allem, da schon lange die Acylierung von Aminen zum Schutz der Amino-Gruppe verwandt wird (auch bei der Synthese von 4-Acetaminobenzolsulfochlorid). Die Bedingungen unter denen die Acylgruppe wieder abgespalten wird, würden auch das gebildete Imid wieder öffnen.

Eine Cyclisierung mittels Pyridin, analog den Arbeiten von Miller, E. et al (1939) mit succinanhydrid, schlug fehl.

Die Cyclisierungsversuche von Kretov,A.E. und Kul'chitskaya, N.E. (1956) mit P_2O_5 , PCl_3 bei höherer Temperatur (Darstellung von N-Phenylmaleimid, N-p-Tolylmaleimid) erscheinen uns in Anbetracht des Elektronenmangels des Benzolringes der Sulfonamide (welcher Succinimid-Bildung begünstigt, Pyriadi,T.M.,1972) als zu hart.

Auch die Methode von Coleman,L.E.et al(1959) zur Darstellung der N-Alkylmaleimide in Xylol bei 170-180°C (mit anschließender Destillation) kann nicht zum Ziel führen. Falls keine Lösungsprobleme auftreten würden, wären unter diesen Bedingungen ebenfalkeine einheitlichen Produkte zu erwarten (einschließlich der Polymerisation $\begin{bmatrix} R & Q \\ N & C & CH = CH & C \end{bmatrix}_{x}$ als Konkurrenz-Reaktion).

Der Versuch einer aceotropen Destillation mit Toluol unter milderen Bedingungen ist nicht durchzuführen, da sich das Sulfamid nicht löst.

Eine Dehydratisierung mit Dicyclohexylcarbodiimid wurde nicht versucht, da Merz, H. et al (1965) schon negative Erfahrungen bei der Cyclisierung ihres N(4-Sulfophenyl)-maleinsäuremonoamids

mit diesem Substrat gemacht hatten. Ihre Methode mittels Dimethylanilin erscheint uns ebenfalls nicht geeignet. Sie erhielten 35-40 %iges Rohprodukt, das sie nicht reinigen konnten

b.Dehydration, Reaktionsmechanismen

on the contract of the contra

The state of the s

,我们就没有一个大大的,我们就是一个大大的,我们就是一个大大的大大的,我们就会看到这个大大的,不是一个一个一个一个一个一个一个一个一个一个一个一个一个一个一个一

"我们们,我们们就是我们的人的,我们就没有一种的人,我们就会一个事情。"

or the production agreement to a first and the contract of the contract of

Control of the contro

Section of the sectio

1990年,1990年,1990年,1990年,1990年,1990年,1990年,1990年,1990年,1990年,1990年,1990年,1990年,1990年,1990年,1990年,1990年,1990年,19

organism in the first of the control of the first of the control of the state of the control of

And the state of the second of

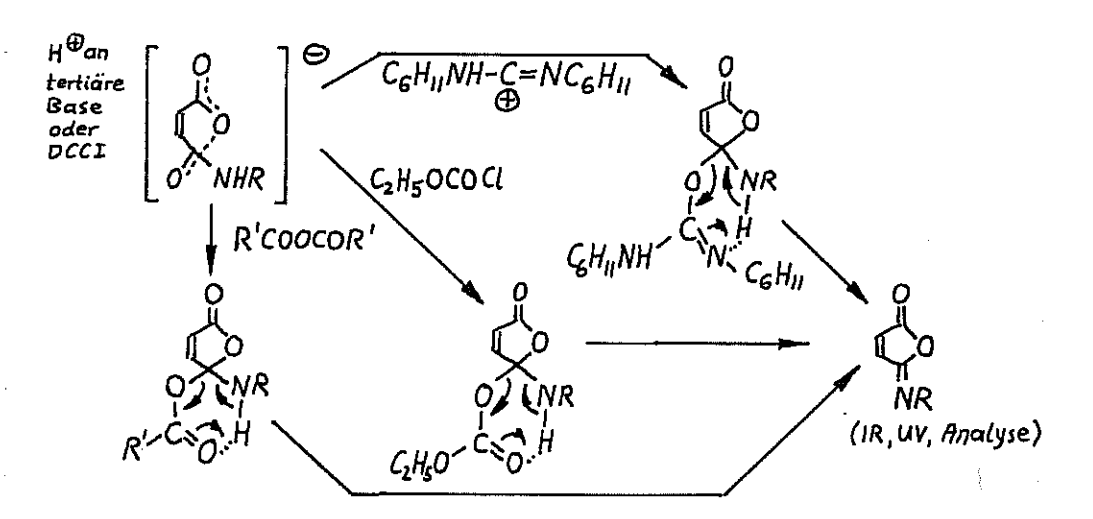
or dar colored recommendations of the formula continue

or a consideration of the color for for the color and all the color is the color

THE CATE OF A STATE OF THE SECOND SECTION

Im folgenden seien noch einige in teressante Arbeiten mit Cyclisierungsagentien an Maleinsäuremonoamiden genannt. Die entsprechenden Reaktionsmechanismen (vorgeschlagen oder bewiesen welche die späteren eigenen durchgeführten Cyclisierungen teil-weise erklären können, werden mit angegeben. Die Ergebnisse der folgenden Arbeiten sind außerdem dazu geeignet, weitere Probleme der Cyclisierung der N⁴-Maleoyl-N¹-Alkylsulfanilamide aufzuzeige:

Cotter, J. et al (1961), synthetisierten N-Alkyl- und N-Aryl (Phenyl) - substituierte Isomaleimide und Bisisomaleimide durch Dehydration von N-substituierten Maleamiden mit N,N'-dicyclo-hexylcarbodiimid, Äthylchloroformiat-Triäthylamin, Trifluoracet-anhydrid-Triäthylamin. Diese N-substituierten Isomaleimide isomerisierten sie zu den symmetrischen N-substituierten Maleimiden in der Gegenwart von Na-acetat oder Triäthylammonium-acetat.



Sie fanden, daß die Dehydration von N-substituierten Maleamiden mit Acetanhydrid, in Gegenwart von Triäthylamin anstatt von Na-acetat, bessere Ausbeuten an Maleimid liefert (N-n-Butylmaleinsäuremonoamid zu N-n-Butylmaleimid).

Für die Isomerisation vom Isomaleimid zum Maleimid formulierer sie folgenden Mechanismus:

Sie nehmen an, daß auch bei sofortiger Dehydration, mittels Acetylchlorid-Triäthylamin, Acetanhydrid-Triäthylamin (oder Wa-acetat), zu den N-substituierten Maleimiden, das Isomaleimid primäres Dehydrationsprodukt ist (N-n-Butylmaleinsäuremonoamid zu N-n-Butylisomaleimid in sehr geringer Ausbeute bei niederer Temperatur).

人名英格兰 医多种性性 医多种性 医多种性 医二种二种 医多种 医电影 医二种

grand proceedings of the second of the secon

rangangan katalah gang permulah di dibangan pengangan berangan di dibangan pengangan berangan berangan di diban

THE CONTROL OF HELD OF A CONTROL OF THE CONTROL OF

and the second of the second o

,我们们的一点,我们们会们直接的一种,他们们的主要的人,但是一个人的一种的主要,是<mark>是是</mark>是这个人的。

and the state of the

Paul, R. und Kende, A.S. (1964), vergleichen zwei alternative Dehydrationsmechanismen mit DCCI an N-Butylmaleinsäuremonoamid zu N-Butylmaleisoimid und zeigen mit 0¹⁸-Markierung, daß der von Cotter, J. et al (1961), beschriebene Wechanismus der Dehydration mit DCCI nicht stimmt.

Verwandte Mechanismen (Weg Paul,R.) beschreiben Roderick,W.R (1964) und Hedaya, E. et al (1966), für die Trifluoracetanhydrid-Dehydration.

Die Dehydration von N-Arylmaleinsäuremonoamiden mit Acetanhydrid mit und ohne Na-acetat beschreibt Sauers, C.K.(1969).
Er fand, daß bei der Dehydration von N-Arylmaleinsäuremonoamiden
mit Acetanhydrid alleine, Mischungen entstehen, in denen das
Maleisoimid dominiert über das Maleimid. In der Gegenwart von
Na-acetat wurde anfangs mehr Imid geformt und die Menge vom
Maleimid zum Isoimid wuchs mit fallender Elektronendichte des
Benzolringes. Die Geschwindigkeit der Umwandlung vom Maleisoimid

zum Maleimid war zu niedrig, um die Höhe der entstandenen Maleimid-Menge in Gegenwart von Na-acetat nach drei Minuten, erklären zu können. Die bei fortschreitender Reaktion entstehend Essigsäure kann die Umwandlungsreaktion beschleunigen, aber auch die Möglichkeit der Katalyse durch andere Spezies, welche in der Reaktionsmischung anwesend sind, kann nicht ausgeschlossen werden. In allen Dehydrationen, die über eine längere Zeitdauer verlaufen, muß das Imid durch Umwandlung des Isoimids erhalten worden sein.

In der wichtigsten 'Seitenreaktion' in Gegenwart von Na-acetat kann Acetanilid und Maleinsäureanhydrid entstehen (dies hauptsächlich bei großen Elektronendichten im Benzolkern).

 $(x_1, y_1) \in \{x_1, y_2, \dots, y_n\}$ for $(x_1, y_2) \in \{x_1, y_2, \dots, y_n\}$ for $(x_1, y_2, \dots, y_n) \in \{x_1, \dots, y_n\}$

en en 1980 de la companya de la comp La companya de la companya della companya della companya de la companya de la companya de la companya della companya de la companya della companya de

and the first of the first of the control of the co

and the second of the second o

en de la composition La graphica de la composition de la co

Here is a compared to the first of the compared of the compared to the compared of the compare

,我们就是我们的最后,我们们的人,我们就没有一个人的人,就是这个人,我们是我们会的意思,这个人的意思。

Folgende Reaktionsmechanismen werden aufgrund der erhaltenen Ergebnisse angeboten:

Die hohen Ausbeuten an Isoimid 2 über Weg A resultieren aus der dipolaren Amid-Resonanzstruktur von 1 OAc NR' NR'

Das Acetat-Ion beschleunigt wahrscheinlich die Bildung des gemischten Anhydrids (1) und außerdem muß es die Protonen-Abspaltung aus (1a und 1b) unterstützen.

Seine Ergebnisse erhielt er aus den NMR-Signalen der Reaktionsmischung.

TAFEL VII NMR Daten für N-Arylmaleisoimide und N-Arylmaleimide^a

ubst.	£	J, cps	8	J, cps	Substituent pr oto ns, E	八	/ Ξ\ Β
2a	7.47,6.75	5.5	7.50,6.98	9	3.82	IL /N-	(<u>o</u>)-k
7a	6.91		7.27,7.03	9	3.83	Ĭ	(1)
2Ь	7.50, 6.73	5.\$	7.28		2.34	U	• • •
16	6.97		7, 28		2.38	Ö	
2c	7.54,6.84	5.5	7.38			<u>ال</u>	$a, R = OCH_3$
1c	6.93		7.44			IL X	b, R = CH ₃
2d	7.53,6.86	5.5	7.40			<u>][</u>	C , R = H
1d	6.95		7.51,7.41	9.5		Ņ	d.R=CL
2 e	7.58,6.92	5.5	8.05, 7.35	8.5	2.58	人	e,R=CoCH ₃
1e	7.00		8.11,7.58	8. 5	2.60	[0]	_
□ Wei	rte für 8 rela	tive zu T	TMS in Aceta			(2) Y	

Den Gebrauch von Acetylchlorid-Triäthylamin, Acetanhydrid-Triäthylamin-Mischungen für die Synthese von Isomaleimiden aus Maleinsäuremonoamiden beschreiben Pyriadi, T.M. und Harwood, H.J. (1971). Sie untersuchten den Einfluß der Temperatur, der Aminund Dehydratisierungs-Agens-Konzentrationen und des Lösungsmittein der Darstellung von N-Alkylisomaleimiden und N-Phenylisomaleimid. Die Dehydration von N-Phenylmaleinsäuremonoamid ergab mit Acetylchlorid-Triäthylamin (2-1 Mol pro Mol Säure) bei höherer Temperatur in Benzol (über 1-2 Stunden) 40-50 % reines Imid.

Die Reaktion von N-substituierten Maleinsäuremonoamiden mit Thionylchlorid und Chloracetylchlorid beschreibt Pyriadi, T.M. (1972). Bei sehr tiefen Temperaturen (-20 $^{\circ}$ C) entsteht mit SOCl₂ (äquimolare Menge) und Triäthylamin (1 Mol pro Mol Säure) in CH₂Cl₂ in sehr geringer Ausbeute (ca. 3-4 %) das Maleimid. Bei N-Arylmaleinsäuremonoamiden mit Elektronenmangel nur α -Cloro-Succinimid:

$$V_{C_{6}H_{5}}^{O} + SO(2) \longrightarrow V_{C_{6}H_{5}}^{O} \times V_{C_{6}H_{5}}^{O} \times$$

Diese letzte Methode würde, aus dem gerade geschilderten Grund, wohl wenig geeignet sein für unsere Cyclisierungen.

Als letztes sei noch die Arbeit von Trommer, W. und Hendrick, M. (1973), erwähnt. Diese cyclisierten p-substituierte N-Phenyl-maleinsäuremonoamide $(-N_3, -COCH_2OH)$ zu den, möglicherweise als Vernetzer von Globulären Proteinen dienenden, maleimiden in Methylenchlorid in Gegenwart von 1-Hydroxy-Benzotriazol und N, N'-dicyclohexylcarbodiimid bei o°C in Ausbeuten von 80 %:

Mit DCCI alleine wird bei vielen Aromaten (Elektronenmangel im Kern) keine Reaktion erzielt, mit 1-HBTL als Katalysator erfolschneller Umsatz zum Imid. Hier dürfte die Möglichkeit einer Einstufencyclisierung die entscheidende Rolle spielen, was teilweise durch eine sterisch günstigere Anordnung erreicht wird (außer der Bildung eines aktiven Harnstoffderivates).

Diese Methode könnte geeignet sein, die Schwierigkeit zu beheben, die Merz, H. et al (1965) mit DCCI alleine, bei ihrem Cyclisierungsversuch von N(4-Sulfophenyl)-maleinsäuremonoamid, hatten. Möglicherweise kann sie auch für unsere Cyclisierungen dienen.

c.Diskussion zur Cyclisierung mit Na-acetat/Essigsäure, Reaktionsmechanismen

Nach den Ergebnissen mit Acetanhydrid-Na-acetat (Triäthylamin soll nun noch einmal auf unser Cyclisierungsproblem mit dieser Methode eingegangen werden. Zunächst die hiermit gefundenen Ergebnisse:

Fallende Elektronendichte im Kern vom Aromaten begünstigt Imid-Bildung gegenüber dem Isoimid. Große Elektronendichte verschiebt die Reaktion zur Seitenreaktion einer Maleinsäure-anhydrid-und Acetanilid-Bildung. Die Gegenwart von Na-acetat in

Acetanhydrid verschiebt auf die Seite vom Imid. Na-acetat beschleunigt die Bildung des gemischten Anhydrids und unterstütz die Abspaltung der Protonen. Durch Triäthylamin anstatt Na-aceta wird die Ausbeute am Imid erhöht. Hohe Ausbeuten an Isoimid brin man in Beziehung zu einer dipolaren Amid-Resonanzstruktur (bei Aromaten mit Elektronendefizit kaum möglich, daher hohe Ausbeute an Imid).

Nun zu den N⁴-Maleoyl-N¹-Alkylsulfanilamiden: durch die p-Substituenten am Kern ist jener Elektronenarm, wodurch die Isoimid-Bildung und die Reaktion zu Maleinsäureanhydrid und Acetanilid bei einer Cyclisierung in Acetanhydrid kaum mehr möglich sind.

Die Verbindung enthält jedoch drei acide
Funktionen, wobei das Verhältnis zweier (und
die Nucleophilie der deprotonierten Spezies),
nämlich -SO2NHR und -CONHAr, für uns von Interesse sind.

Der erste Reaktionsschritt ist die Bildung des gemischten Anhydrids (Basenkatalysiert: Acetat, Triäthylamin) der Säurefunktion, als nächstes müßte jetzt die Abspaltung des Protons aus -CONHAr folgen, mit einem Angriff des jetzt nucleophilen Stickstoff auf die gemischte Anhydrid-Struktur unter Abspaltung von Acetat (Weg A). Als Konkurrenz-Reaktion tritt allerdings die Abspaltung eines Protons aus -SO2NHR mit anschließender Acylierung des entstandenen nucleophilen N auf (Weg B):

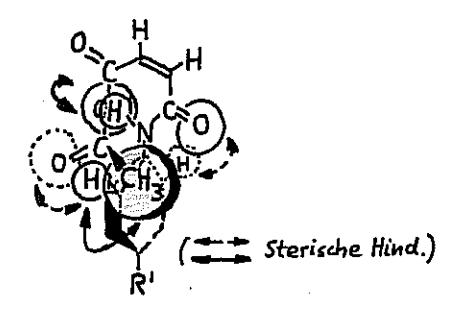
$$(R=n-R|kyl)$$

$$OCOCH_3 - OCOCH_3 -$$

All difference in the later of the following later will be a five of the first of t

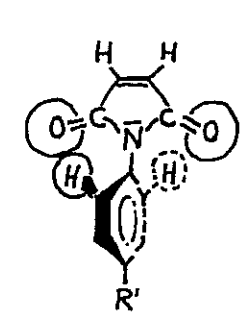
 Durch die Anwesenheit der Alkylgruppe mit ihrem +I-Effekt wird die Acidität des -SO2NH → R abgeschwächt. Durch diese voluminösere Alkylgruppe (gegenüber H) wird auch der Angriff auf die NH-Gruppe erschwert (voluminösere Basen wie Triäthylamin vergrößern diesen Effekt). Die Nucleophilie des Phenyl-benachbarten N dürfte geringfügig steigen, da der Elektronenmangel des Kernes etwas gesenkt wird.

Auch die Struktur des Maleoylrestes sollte Reaktion an Phenyl-NH- begünstigen – dazu kommt die Fähigkeit des Acetanhydrids als polares protisches Lösungsmittel zu wirken und in Richtung auf $S_{\rm N}$ 1-Reaktion zu verschieben.



Der Maleoylrest ist aufgrund seiner Mesomerien planar. Das Proton vom Stickstoff wird auf den Sauerstoff des gemisc ten Anhydrids gedrückt, wodurch die zu eliminierende Essigsäure schon vorgebildet ist. Durch die Mesomerie zwischen N-C- ist die zweite -CO-Gruppe in Richtung des Stickstoff verschoben.

Der Katalysator OCOCH₃ muß jetzt praktisch nur noch die Nucleophilie des N, durch den Zug auf das Proton am N, vergrößern, um damit den Ringschluß unter Essigsäure-Eliminierung zu ermöglichen.



Im cyclischen Produkt sind die sterischen Hinderungen stark verringert und Elektronenwechselwirkung zwischen Maleimid und Benzolring ist eher möglich (wenn auch immer noch behindert)

Die Betrachtung zeigt, daß die Reaktion über Weg (A) begünstigt sein sollte. Durch eine kurze Reaktionszeit und nicht zu hohe Temperatur müßte

anschließende Acylierung vermeidbar sein.

d. Ergebnisse unserer Maleinsäuremonoamid-Cyclisierung mit
Na-acetat/Essigsäure

Diese Aspekte ermutigten uns diese Cyclisierungsmethode für die Alkylderivate, unter verschiedenen Reaktionszeiten und

orazine i sa ekonomica i sili sa sekara bila sa ekonomica 🛵 🚅 kalakara sa ekonomica sekara sa ekonomica kara sekara sek and the second of the second o 。 接来到《新文学》卷《 The Control of the Co Harting the state of the state 来的一笔的一点直到这里的一个一点的一点的 (a) (b) (b) (b) (b) (b) (b) Complete and the second of the complete and the om Bethough an on the Bethought of the original to the property of the second of the s , care of the continue of the Control of the Maria Control of the In the second of Burner and the Committee of the Committe

Temperaturen, doch noch auszuprobieren. Das unsere Hoffnung, ein nicht acyliertes Cyclisierungsprodukt zu erhalten, erfüllt wurde und wir schließlich auch das N(4-Sulfamoylphenyl)-maleimid erhielten, ist das Ergebnis einer systematischen Ausnutzung aller bei der Anderung der Reaktionsbedingungen gemachten Beobachtunger Dabei waren die Tatsache, daß die N-substituierten Maleimide mit Hydroxylamin eine mit Fe^{III}-Ionen nachweisbare Hydroxamsäure bilden und die NMR-Spektroskopie, die wichtigsten Helfer.

TAFEL IIX.

Ergebnisse der N⁴-Maleoyl-N²-Alkylsulphanilamid Gyclisierung

			Jsoliert/%	Gycl.Pr/%	Cycl	.Pr./%
N ⁻ Alkyl-	Zeit/min.	Temp. J℃	Cycl. + off. Pr.	(aus NMR)	nicht acyliert	acyliert (ous MMR)
	90	95-100	50	100	67	33
-n-Propyl-	45	95-100	75	100	90	10
	5	95- 98	70	100	100	-
-i-Propyl-	150	95-105	70	100	100	
	180	90-97	55	100		<u> </u>
- Methyl-	5	95 - 100	65	100	75	25
-	3	85- 90	60	100	100	-
	- 10 -	97 - 100	65	100		100
-Н	10	78- 81	20	100	20	80
П	2	91	70	100	25	75
	30	60	25	30	100	

Aus Tafel ITX ist zu ersehen, daß tiefere Temperatur - wodurch allerdings die Löslichkeit des offenen Produktes sinkt (und dadurch die Endausbeute an cyclischem Produkt) - und kürzere Reaktionszeit, die Isolierung des nichtacylierten Produktes vor der Acylierung gestattet. Die Ergebnisse sind auch ein Beweis für die Reaktion über den Weg A. Raumerfüllende Substituenten wie i-Propyl verhindern ebenfalls eine weitere Acylierung

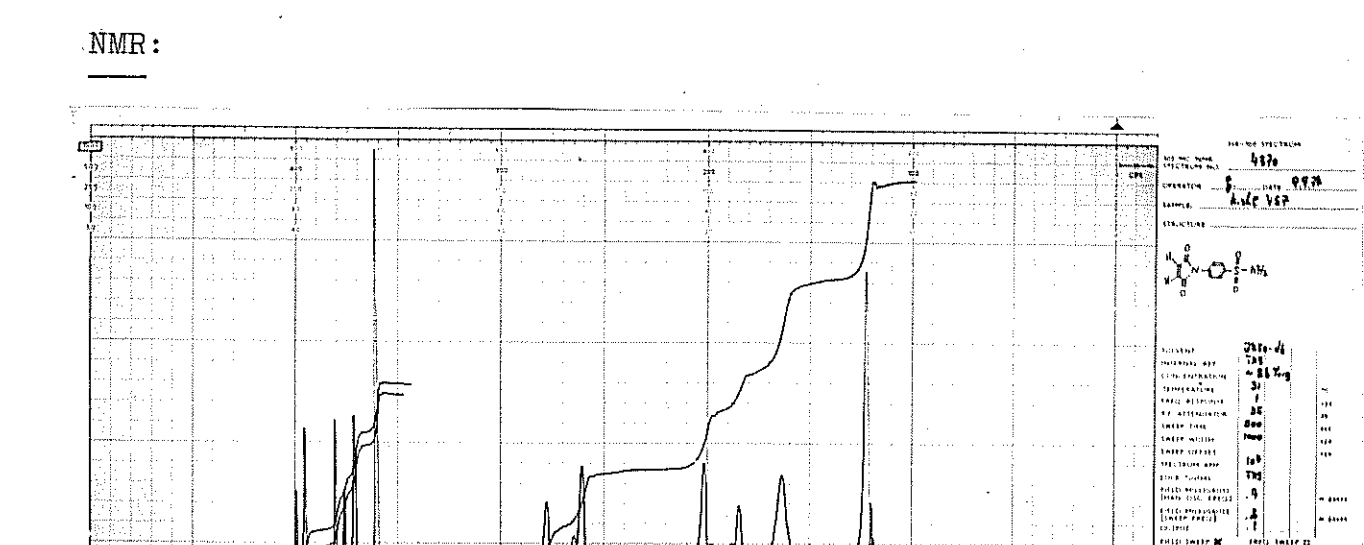
TAFEL I

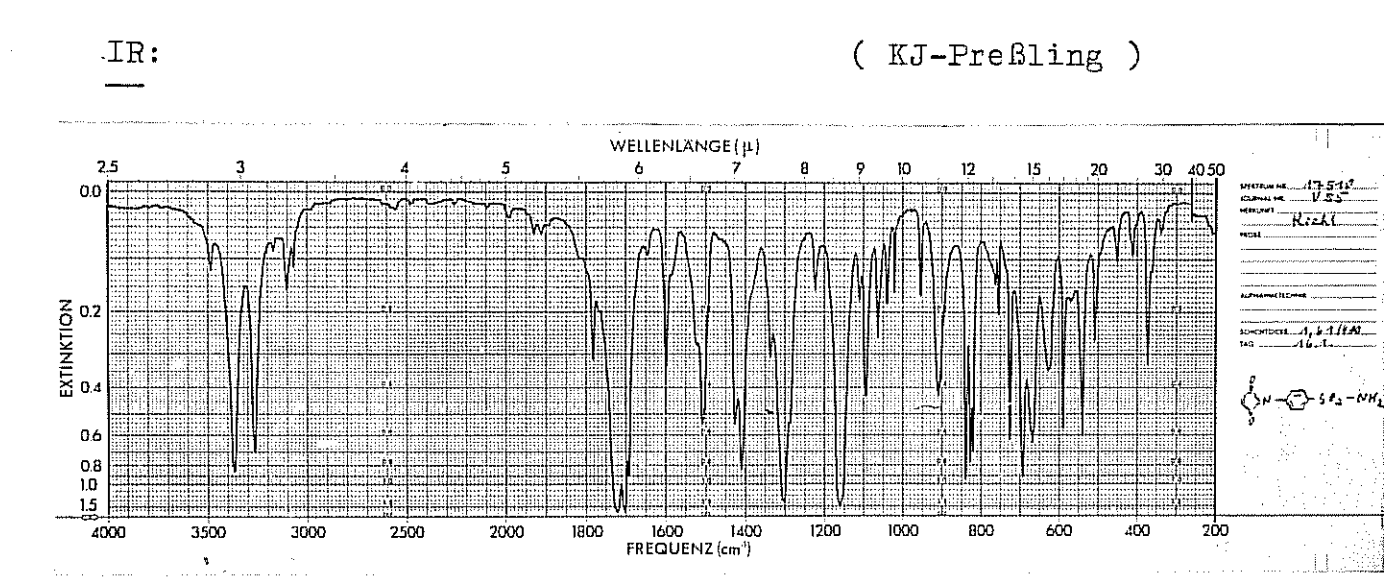
	Adalas	- Majorit - //	Ausbeufe Jmb.	Ē	Molae-	∵ %	. 1	H 9/	-	N º/	•
N - Alkyl-	wicht	N ² RIKyl-	%	ຸນ	with	ber	gef.	ber.	gef.	ber.	gef:
1 11	1000	Malanifantahanifamid	t8	186	270.23	44.00	年83	3.66	4.03	10.62	10.66
	172.21	Manage Anthul-	: &	168	28430	H6.45	#3.5#	4.22	4.33	9.85	49.6
N - Methyl	185.27	-17 -17 et/19t	3 F	3 6	7 98 37	48.30	老 宪	4.35	5.00	9,40	84.6
N-Dimethyl-	200.26	-W-DUMERING	- E	15.8	3 12.39	49.90	50.20	5.12	5.4.5	93.8	8.11
N = n-Frapyl-	241.23	-N-11- rropyl-	, c	2 1 2 1 1 2 1 1 2 1 1 2 1	312.39	49.40	50.28	5.12	5,45	8.46	9.23
-1- Hapyl-	26.77.2	N - C-Flory	S &	466	340.44	52.90	52.74	5.87	6.10	8.23	8.05
-n-rentyl-	כל.272	-N-17-remye	S 25	167	%9€ €368#	55.35	55.36	6.51	6.39	7.59	1,19
N - n - Hepryt N ¹ -n - Nonyl	298.45	-N - n - Nepsyl- -N - n - Nonyl-	83	168	168 770 39657	57,50	57.42	7.06	3.00	7.06	6.72

INTEL XI

-Nikcochs (4) (1) (1) Alkyl-4-sulfamoylphenyl}-maleimid aus N*Maleoyl-N-Alkyls.a. ber. gef. 9.09 9,45 8.22 7.27 9.58 9.04 9.51 9.08 gef. ber. 48.68 50.3} 52.96 55.72 58.02 60.13 51,32 52.64 gef. ر % 53.00 50.55 47.55 51,40 53.00 55.85 58.20 60.20 4810 ber. 252.27 266.30 280.32 294.39 294.39 322.41 wicht 350.46 378.51 294.27 308.30 Molge-82 142 52 111-12 70 172 86 16 38 38-81 918/23}380 93%-7214-39 64 163 54 118 Ausbeute Smp." N+4-sulfamoy(phenyl)-N/N-Acetyl-N-Methyl-Endprodukt - Maleimid. N(N-n-Propyl-N(N-i-Propyl-N(N-n-Pentyl-N(N-Dimethyl-N(N-n-Heptyl-N (N-Acetyl-N (N-Methyl-Molge-wicht 298.32 312.39 312.39 340.44 368.46 396.51 270.14 270.27 284.30 -N*n-Nonyl-Maleoylsulphanilamid -N*Methyl-Maleoylsulphanilamid -N*- Methyl-N*-Maleoyl-N*-Alkyl--N¹- Dimethyl--N²- n-Propyl--N'- i-Propyl--N'- n-Pentyl--N'- n-Heptyl-

6.NMR, IR und MS-Spektren zu_den_dargestellten_Maleimiden
a.N(4-sulfamoylphenyl)-maleimid

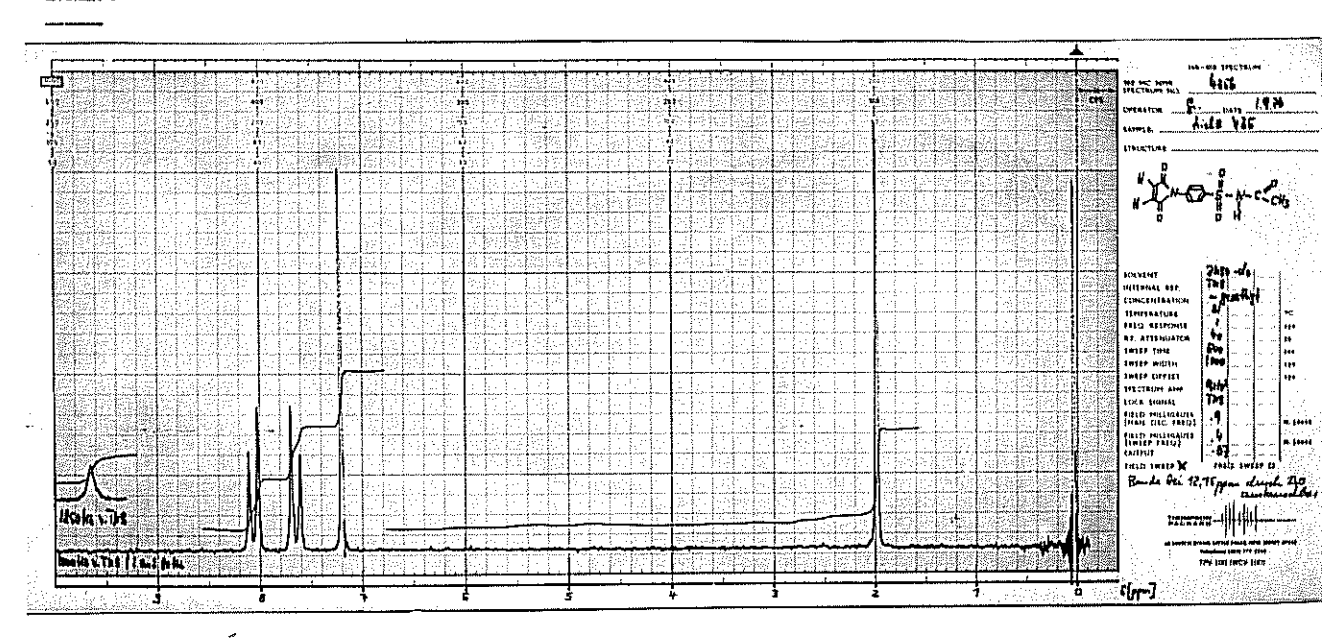




MS: m/e-I%, 252-100 (Molpeak), 236-47, 188-9, 172-55, 144-8, 116-10, 58-17, 43-57.

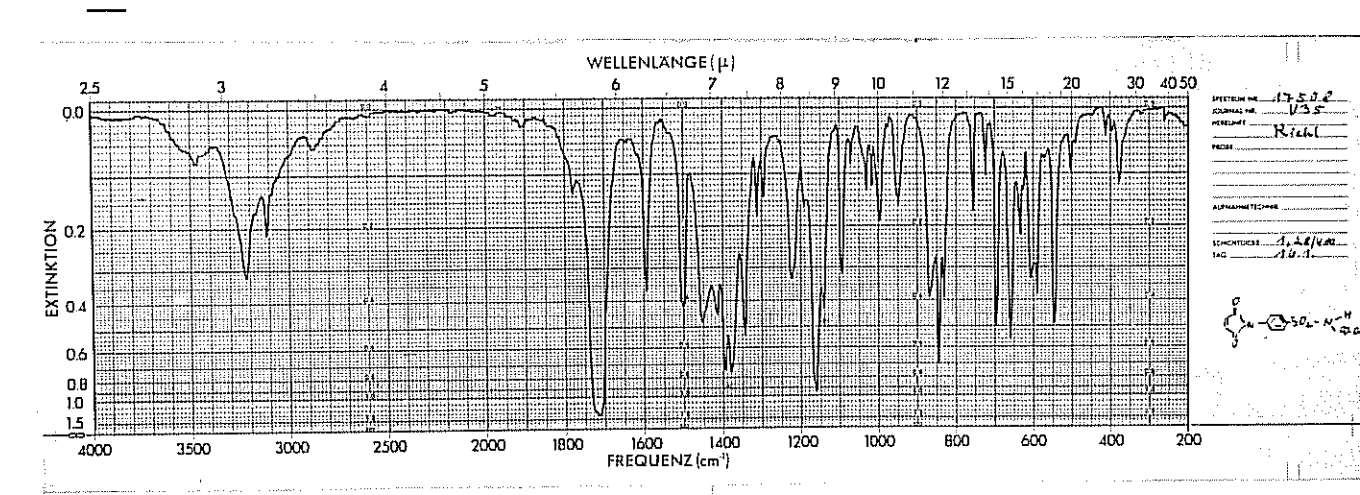
 $\underline{\text{b.N}}(\underline{\text{N-Acetyl-4-sulfamoylphenyl}})-\underline{\text{maleimid}}_{\underline{}}$

NMR:



IR:

(KJ-Preßling)



MS: m/e-I%, 294-o,2 (Molpeak), 252-o,6, 236-3, 230-4, 189-100,

172-21, 144-4, 116-5, 90-4, 82-5, 54-4, 43-21.

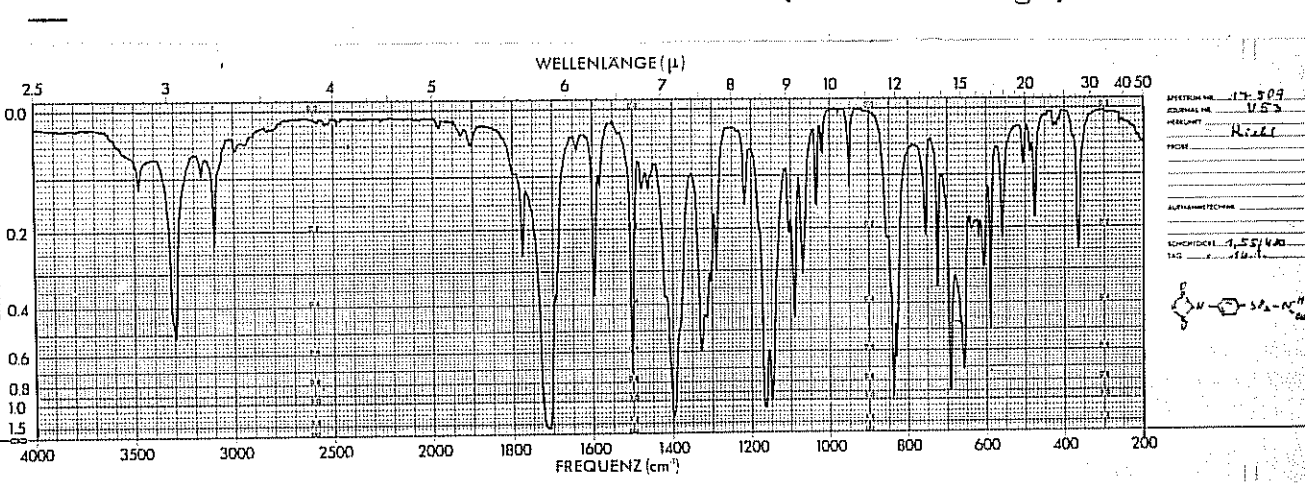
c.N(N-Methyl-4-sulfamoylphenyl)-maleimid

MMR:



IR:

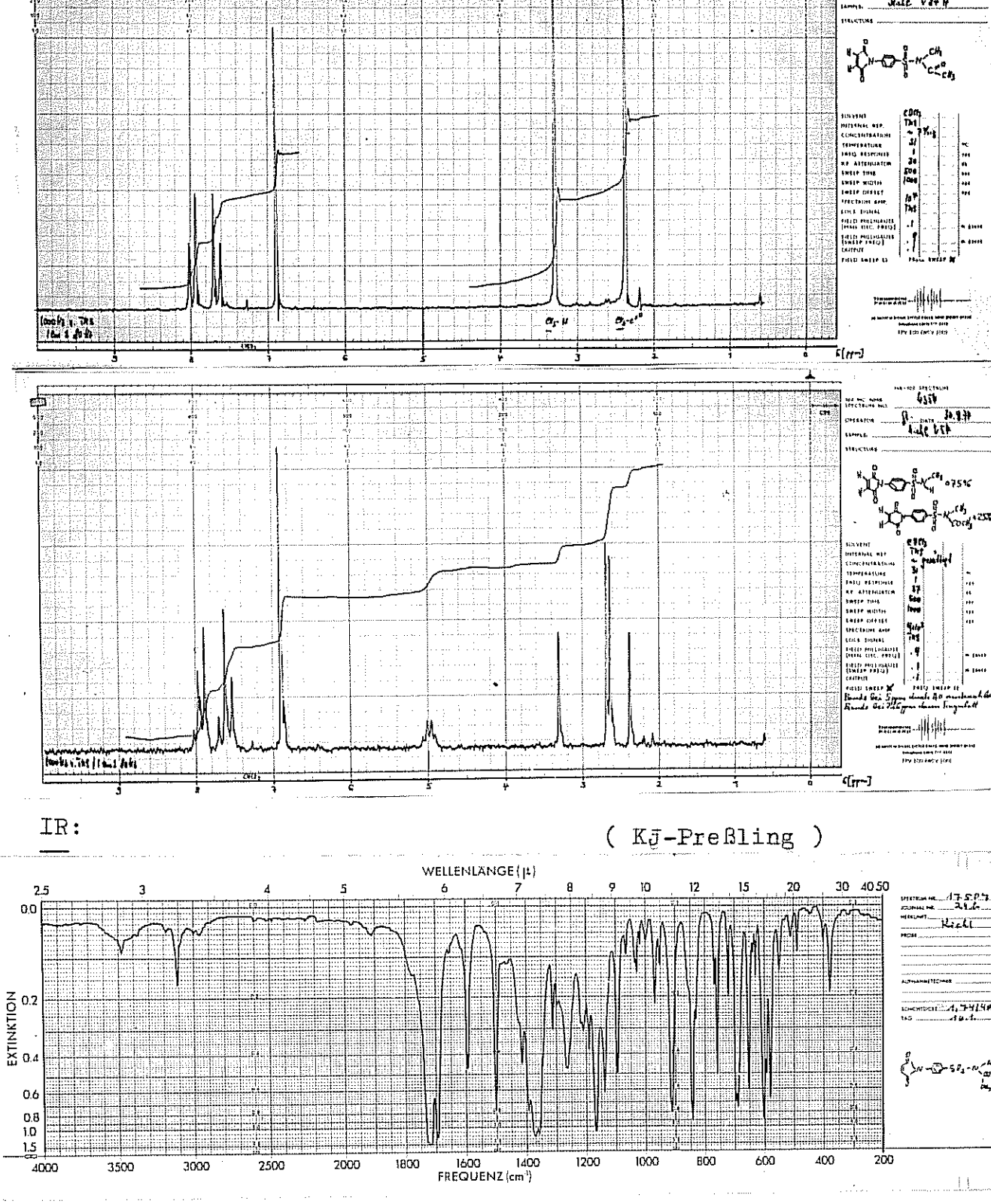
(KJ-Preßling)



MS: m/e-I%, 266-40 (Molpeak), 236-18, 220-2, 202-31, 188-10, 172-100, 144-22, 116-32, 90-15, 82-20, 54-17.

 $\underline{d.N(N-Acetyl-N-Methyl-4-sulfamoylphenyl)-maleimid}$

NMR:



MS: m/e-I%, 309-1 (Molpeak+1), 266-3, 244-22, 236-28, 220-5, 202-23, 188-10, 172-100, 144-18, 116-23, 90-14, 82-26, 56-43.

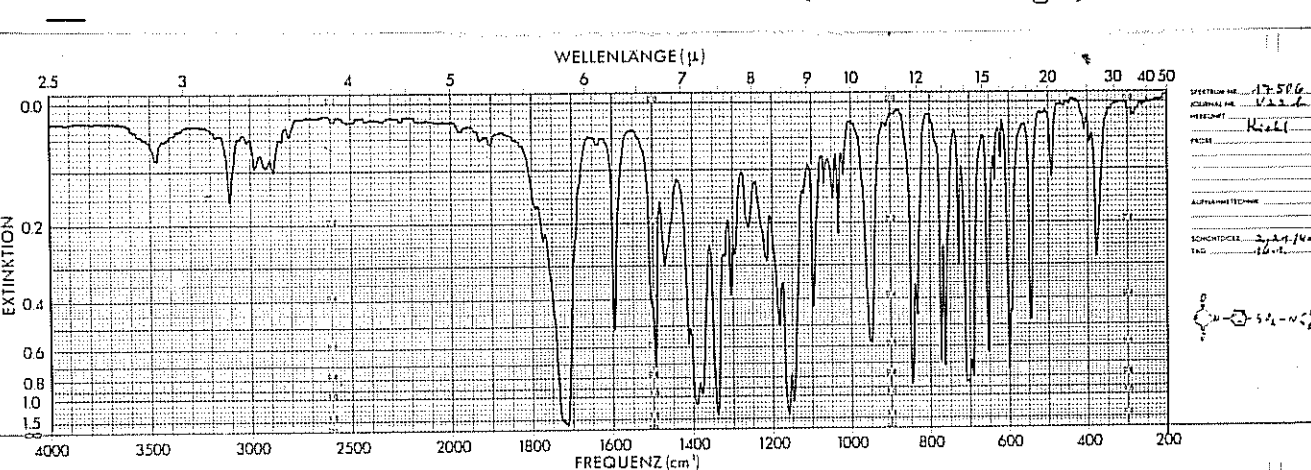
e.N(N-Dimethyl-4-sulfamoylphenyl)-maleimid_

NMR:



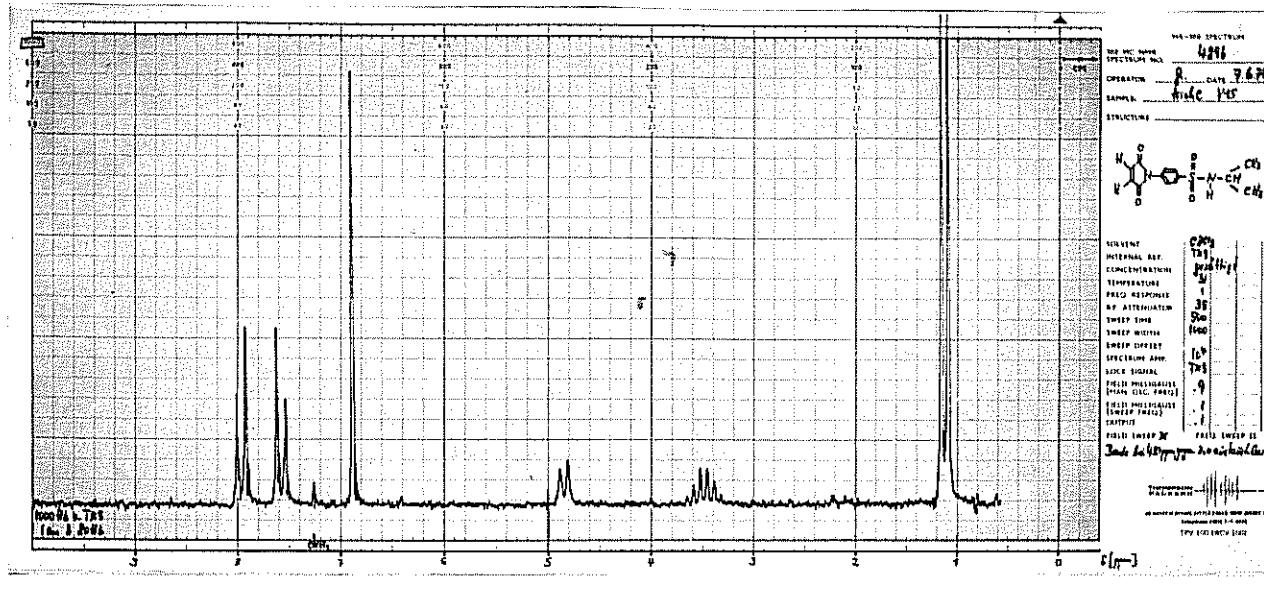
IR:

(KJ-Preßling).

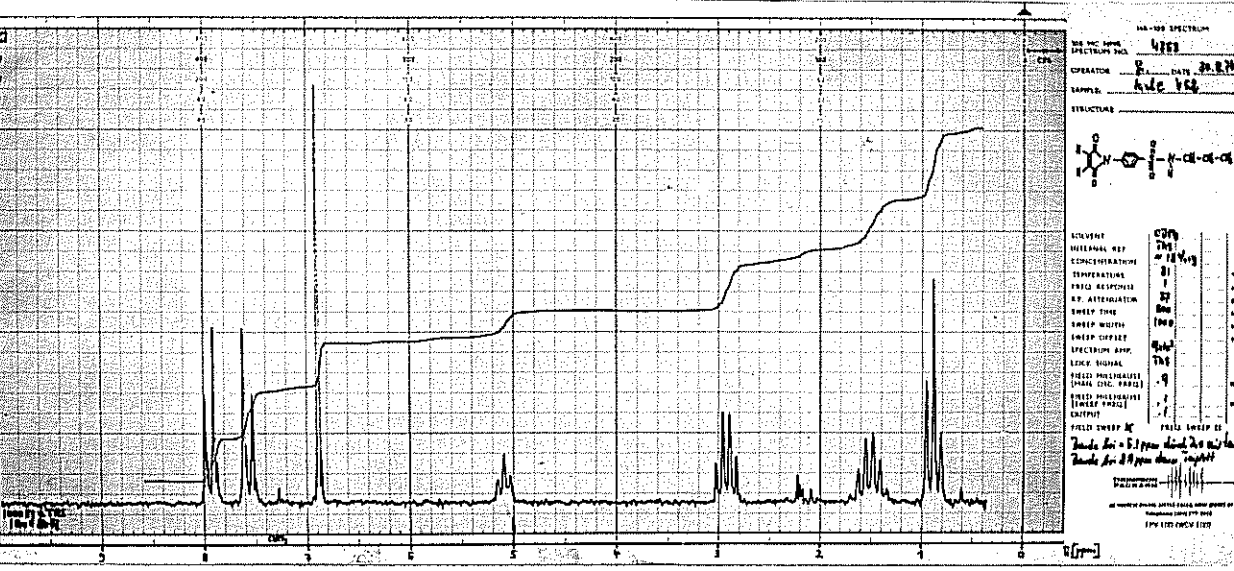


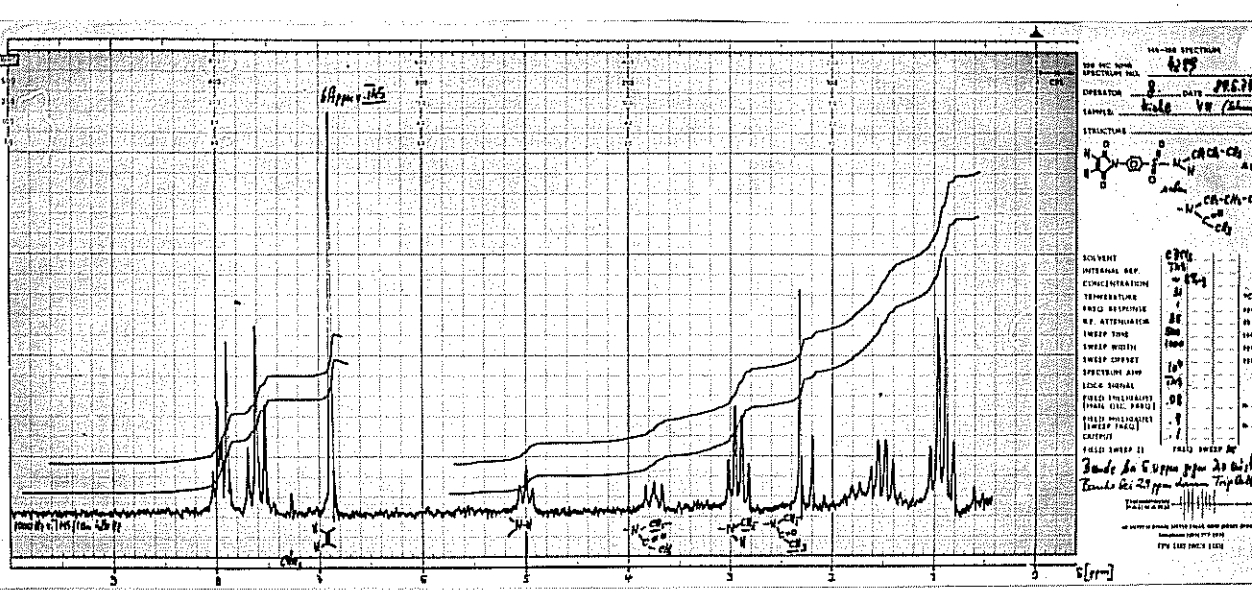
MS: m/e-I%, 28o-55, 236-21, 22o-4, 216-4, 188-10, 172-100, 144-12, 129-2, 116-13, 9o-8, 82-12, 63-5, 54-9, 44-30.

 $\underline{\text{f.NMR-Spektrum von }} \underline{\text{N(N-Isopropyl-4-sulfamoylphenyl)-maleimid}}$



g. NMR-Spektrum_von_N(N-n-Propyl-4-sulfamoylphenyl)-maleimid





B. Synthese der monosubstituierten Thioharnstoffe H2N-C-NHR R=Alkyl (bis

Als Ausgangsmaterial dient für die Darstellungen Ammonium-thiocyanat, welches in Hinsicht auf eine radioaktive Markierung mit $^{35}\text{S-}$ markierbar ist.

Dargestellt wurden von Nair, G.V. (1966), die Derivate bis R = Butyl und auch charakterisiert. Wir synthetisierten unsere Derivate bis R = n-Nonyl analog diesem Verfahren (Teil III):

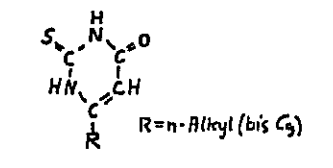
Er beschreibt die Darstellung des tert.-Butylisothiocyanates (mit einer Endausbeute von 98%. Dies können wir nicht bestätigen: bei unseren Ansätzen erhalten wir höchstens 45%. Anhand des Brechungsindices, $-n_D^{25}:1,4770-$, kann diese Substanz charakterisiert werden – auch dies wird von Nair nicht angegeben.

Für eine radioaktive Markierung muß die Ausbeute dieser Stufe erhöht werden.

Bei der Darstellung des 1-substituierten-3-tert.-butyl-Thioharnstoffs (2) können ausbeuten um 90%, wie bei Nair beschrieben gefunden werden. Diese Substanzen werden, da sie sehr sauber anfallen, ohne Umkristallisation in die nächste Stufe eingesetzt

Auch die Abspaltung der tert.-Butylgruppe verläuft unter den von Nair angegebenen Ausbeuten von ca. 90%.

C.Synthese der 6-Alkyl-2-Thiourscile



Die Synthese erfolgt durch Kondensation von Thioharnstoff und den entsprechenden ß-Ketoestern mit Hilfe von Na-Äthylat in Ausbeuten (bezogen auf den ß-Ketoester) von 94-99% (Anderson, G.W et al, 1945, Teil III); bisher dargestellt bis R=n-Pentyl (C5).

Der Thioharnstoff kann in Hinsicht auf eine ³⁵S-Markierung leicht aus Ammoniumthiocyanat hergestellt werden.

and the control of the control of the company of the control of th

en de la companya de Reconstruir de la companya de la co

and the first of the control of the second o

"有'是',"是'我'我们的"我我们是我们的","我们的"我们","我们的"我们的"我们","我们","我们"。

and the second of the second o

in the case of the state of the

responsible to the state of the second of th

。""我是我的人,我们就是我们的一个,我们就是我们的一个一个,我们就是一个都是我们的一个一样的。""这一个一个一个一个一个一个一个一个一个一个一个一个一个一个一

1997年,1997年,1987年,1987年,1987年,1987年,1987年,1987年,1987年,1987年,1987年,1987年,1987年,1987年,1987年,1987年,1987年,1987年,1

(基本集) (2017年) (本本本) (本本本) (本本本) (本本本)

 OC_2H_5 OC_2H_5

Die höheren ß-Ketoester (2) können über die Acylacetessigester (1) durch Hunsdiecker-Esterspaltung dargestellt werden (Organikum, 1971b; Teil III).

Die Acylacetessigester werden aus Acetessigsäureäthylester und dem Acylchlorid mit Magnesium-Äthylat als Hilfsbase gewonnen (Organikum, 1971a; Teil III):

Es werden die rohen Acylacetessigester der Esterspaltung nach Hunsdiecker unterworfen. Die so erhaltenen ß-Ketoester werden durch Hochvakuum-Destillation über eine 20 cm Vigreux-Kolonne gereinigt, wobei die höheren Produkte, wie erwartet, immer schwerer übergehen (mit Zersetzung). Durch Gaschromatograph wird die Reinheit der einzelnen Fraktionen untersucht. Zur Charakterisierung verwendet werden kann der Brechungsindex- n_D^{25} . Es ergeben sich Ausbeuten (bezogen auf das Acylchlorid) von 52-43 Prozent, die Reinheit liegt bei 82-86 %. Diese Fraktionen können ohne weitere Reinigung mit Thioharnstoff umgesetzt werden.

TAFEL IX

in the second second and the second second

 $H(x) = \{ x \in \mathcal{A} \mid x \in \mathcal{A}(x) \mid x \in \mathcal{A}(x) = x \in \mathcal{A}(x) \mid x \in \mathcal{A}(x) = x \in \mathcal{A}(x) \}$

· 集制 (1996年) - 李明 (1996年) - 李明 (1996年)

One of the control of t

The control of the co

er gazer i vere dan elemente eta elemente elemen

1966年,1966年,1966年,1966年,1966年,1966年,1966年,1966年,1966年,1966年,1966年,1966年,1966年,1966年,1966年,1966年,1966年,1966年,19

S H₂N-C-NHR N-monosubstituierte-Thioharnstoffe

														1
	1-monosubs - 3-tert - butyl-Thioham	3-tert-buty	1-Thio	harnstoff	1-monosubs Thioharnstoffe	-Thioharn	stoffe							
		Molge- Ausbeute Smpa	Ausbeu	te Smpª		Molge- A	Ausbeute	Smp 3	%	Ų	%	H	%	>
Eingesetztes Amin n-Alkyl		wicht %	%	ຸ່ວູ	n-Alkyl	wicht	%	Ç	ber.	gef.	per.	ber.gef.	ber.	ber. gef.
n-Propylamin 1-n-Propyl- 17431 90	1-n- Propyl-	17431	38	58	1-n-Propyl-	118.20	75	108	40.60		8.52		23.66	23.40 b
n-Pentylamin 1-n-Pentyl-	1-n-Pentyl-	202.37	88	63-64	1-n-Pentyl-		98	65	49.30		48.9 29.8		19.17	19.74
n-Heptylamin 1-n-Heptyl-	1-n-Heptyl-	230.42	93	Ğ	1-n-Heptyl-		#6	98	55.15	54.73	10.40		16.09	15.91
n-Nonylamin 1-n-Nonyl- 258.47	1-n-Nonyl-	258.47	30	Óί	1-n-Nonyl-	202.36	46	રી-96	59.38	59.33		4.14	13.83	13.47

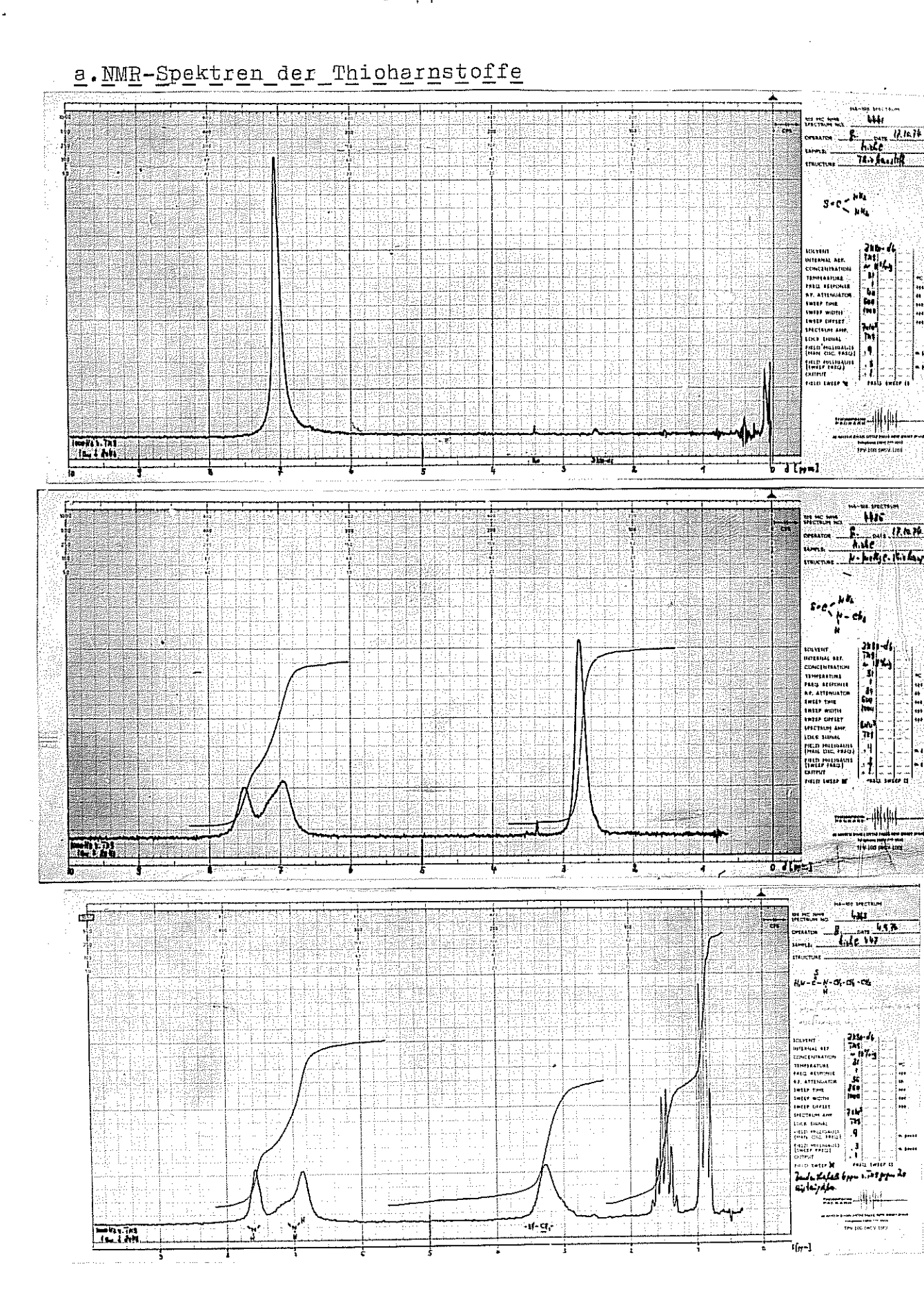
Schmelepunkte unharrigiert * Lift.: Nair, G.N. (1964)

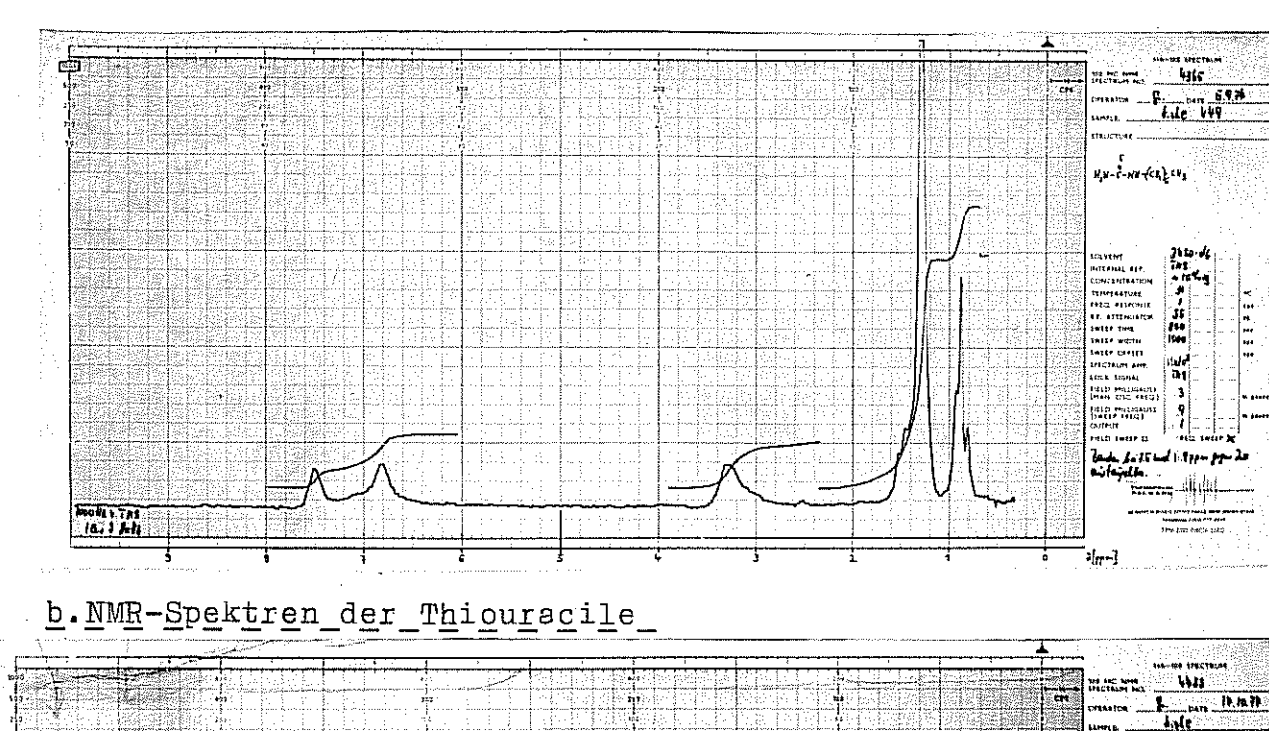
ر برد در برد در برد

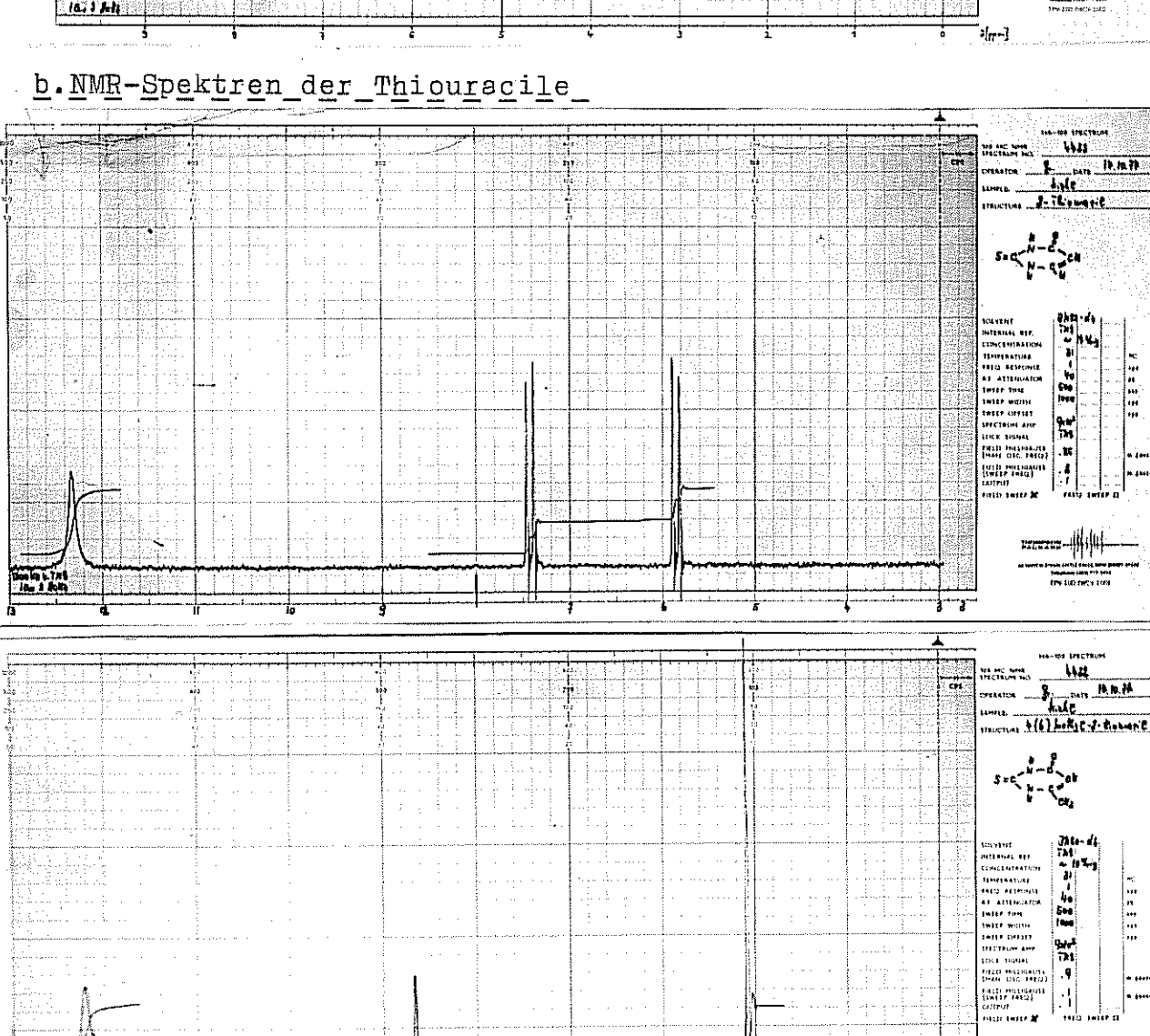
TAFELX

6-n-Alkyl-2-Thiouracil

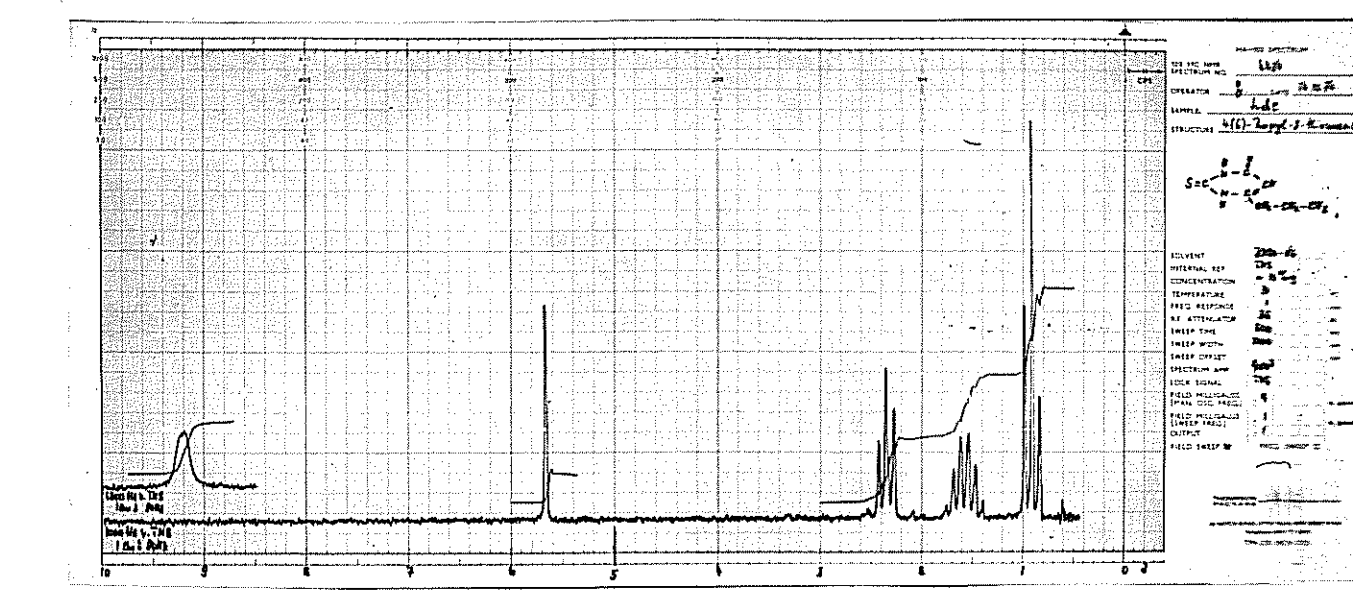
	n-Acylessigsäureäthylester	ısaure äl	hylester				6-n-Alkyl-2-Thiouracil	-Thiouraci.	+				
Eingesetztes		Destú	DestÜbergang Ausbeute Rein-	Ausbeute	Rein-	55,	,	Molge- Ausbeule Smp	Pusbed	'e Smp	2%	Н%	N%
Säurechlorid n-Acyl-		Druck/m	Druck/mm Kp/t %	%	heit/%	a _u	n-Alkyl-	wicht	%	٠,2	ber. gef.	ber. gef.	ber. gef
n-Capron-	n-Capron- n-Caproul- 13 113-127 52	43	113-12 }	52	82	1,4387	1.4387 6-n-Pentyl-	198.37	95	95 151-52	54.45 5470	7.06 6.95	14:11 13:91
n-Caprul-	n-Capryl- n-Octoyl- 2-3 119-133 51	2-3	119-133	51	98	1.4397	1.4397 6-n-Heptyl.	226.42	98	146-49	58.30 58.59	30.8 4P.F	12.38 12.19
r-Caprin -	n-Caprin - n- Dekoyl - 0:41.0 107-135 43	0.47.0	107-135	43	82	9 せかかちブ	6-n-Nonyl-	25448	92	135-38	61.30 61.61	8.64 8.78	11.00 11.13

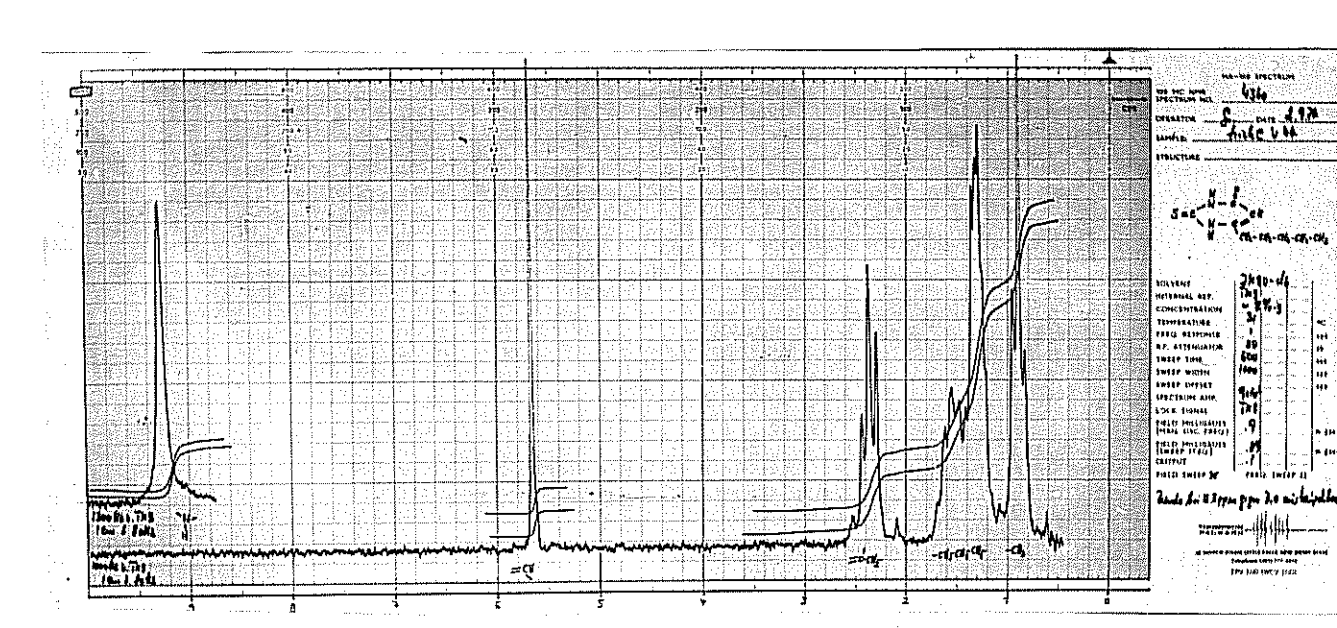






2011.75 2011.75





III.EXPERIMENTELLER TEIL

A.Allgemeine Hilfsmittel

Zur Charakterisierung und Identifizierung der einzelnen Verbindungen wurden die Schmelzpunkte, Siedepunkte, Brechungsindices, Elementaranalysen, IR-Spektroskopie, Massenspektroskopie, UV-Spektroskopie, NMR-Spektroskopie, Gas- und Dünnschichtchromatographie herangezogen.

Die Kinetik wurde mittels UV-Absorption verfolgt. Für die schnellen Reaktionen verwendeten wir eine Stopped-Flow-Apparatur (Aminco DW 2 mit zugehörigem Stopped-Flow-Zusatz).

1. Dünnschichtchromatographie

Verwendet wurden <u>DC-Fertigplatten</u> von Merck, Kieselgel 60 F₂₅. Schichtdicke 0,25 mm.

Als <u>Laufmittel</u> verwendeten wir

a)sauer: $CHCl_3/MeOH/H_2O/AcOH - 50/30/4/8 ml$

b)basisch: CHCl₃/MeOH/H₂O/NH₃ conc. - 130/70/8/0,5 ml beide Mischungen von Bäuerlein, E. (unveröffentlicht) erfolgreich verwendet.

Das <u>Sprühmittel</u> zum Nachweis der cyclischen Maleimide nach Whittacker, V.P., Wijesundera, S. (1952), Biochem. J. 51, 348:

Lösung a: 20 g Hydroxylammoniumchlorid in 50 ml Wasser lösen
Die Lösung mit Äthanol auf 200 ml auffüllen und
kühl aufbewahren.

Lösung b: 50 g Kaliumhydroxid in möglichst wenig Wasser löse Dann mit Äthanol auf 500 ml auffüllen.

Sprühlösung I: 1 Vol.a mit 2 Vol.b mischen. Das ausfallende KCl abfiltrieren. Die so erhaltene Sprühlösung I im Kühlschrank aufbewahren (ca. 2 Wochen haltbar).

Sprühlösung II: 10 g feinstgepulvertes Fe(III)-chlorid

(FeCl₃.6H₂O) in 20 ml HCl (36%ig) lösen. Die Lösung solange mit 200 ml Diäthyläther schütteln bis eine homogene Mischung entstanden ist. Die Sprühlösung II ist gut verschlossen längere Zeit haltbar.

2.Ausgangsmaterialien, die nicht selbst hergestellt wurden

J.T.Baker chem.Co: Monomethylamin

Barth: B-Lactoglobulin vom Rind 3 mal krist. (Biomol)

BASF: Isopropylamin, Acetessigsäureäthylester (vor Gebrauch dest.)

Fluka: Maleinsäureanhydrid, Essigsäureanhydrid,
n-Propylamin, n-Pentylamin, n-Heptylamin, n-Nonylamin,
Ammoniumthiocyanat, Thioharnstoff, N-Methylthioharnstoff
N-Äthylthioharnstoff, 4(6)-Methyl-2-Thiouracil,
4(6)-Propyl-2-Thiouracil,
KJ (neutral z.An.), NaH₂PO₄.H₂O (z.An.),

o,1 N-Jodlösung (gegen Stärke titriert)

Merck-Schuchardt: Tert.Butylchlorid, Capronsäurechlorid, Caprylsäurechlorid, Caprinsäurechlorid.

Die aufgeführten Namen sind auch die Handelsbezeichnungen. Im Hause waren vorhanden: Dimethylamin, 2-Thiouracil.

3. Lösungsmittel

The second of th

ink in description of the compact of

· "我们是我们是不是一个一个一个人的话,这个一个一个一个一个一个。"

and the transfer of the experience of the first of the experience of the experience

gradients in the contract of t

 $(x,y) = (x,y) + \frac{1}{2} (x + y) + \frac{1}{2} (x +$

areas content for the second of the second of

and the constant of the constant of the second of the constant of the second of the constant o

The Control of the Co

Es wurden nur reinste Lösungsmittel - hauptsächlich von Merck - verwendet, welche teilweise wasserfrei gemacht werden mußten nach herkömmlichen Methoden: Äthanol wurde über Mg-Spänen getrocknet, Äther absolutiert über Na-Draht, Aceton über Molekularsieb.

B.Synthesen

"我的是我们是自己的,我们是我们的,我们要是自己的。"这^样的特色的。"我们的这个多年

and provide the control of the second of the control of the contro

្រស់ ស្គ្រាស់ ស្គ្រា ស្គ្រាស់ ស

A CONTRACTOR OF THE CONTRACTOR

Calculation of the contract of the first of the calculation of the cal

The Control of the Control of China

Contract the second of the second of the second

guarda (no. Caramora y paradaba) avelvar in the conservation

rendiging the control of the control

in the second control of the control

The first of the control of the cont

1. Darstellung der N⁴-Acetyl-N¹-n-Alkylsulfanylamide

<u>a._-N¹-Methyl-_</u>

7,15 g Monomethylamin (o,23 Mol) in 50 ml Wasser eingasen, dazu 28,8 g Na₂Co₃.1oH₂O (o,1 Mol) einrühren; 46,74 g 4-Acetamine benzolsulfochlorid (A.b.s.; o,2 Mol) portionsweise innerhalb 5 Min. zugeben (Temp.anstieg von 25°C auf 42°C); nochmal 50 ml Wasser zulaufen lassen. Nun 2 Std. bei 30°C rühren (Probe in 2 N NaOH klar löslich), abkühlen auf o°C, 10 Min. bei o°C rühren absaugen, waschen mit viel Wasser, trocknen über KOH und H₂So₄ com im Vakuum über Nacht. Ausbeute: 38,7 g (84%) Smp.: 181°C

DC (bas.): 1 Peak

Elementaranalyse: C,H,N in Ordnung, S.20.

 $\underline{\mathbf{b}} \cdot \underline{-\mathbf{N}}^{1} \underline{-\mathbf{Dimethyl}} -\underline{\mathbf{n}}$

28,8 g Na₂CO₃.1oH₂O (o,1 Mol) in 50 ml Wasser lösen, dazu 30 ml ca.4o%ige wässr.Dimethylamin-Lösung (o,23 Mol) einrühren; 46,74 g Acetaminobenzolsulfochlorid (o,2 Mol) portionsweise innerhalb 5 Min. zugeben (Temp.anstieg von 25°C auf 41°C);nochmal 30 ml Wasser zulaufen lassen. Nun $2^{1}/_{2}$ Std. bei 30° C rühren (Probe in 2 N NaOH klar löslich), abkühlen auf 0° C, 10 Min. bei 0° C rühren, absaugen, mit viel Wasser waschen, trocknen über KOH und $H_{2}SO_{4}$ conc. im Vakuum über Nacht.

<u>Ausbeute:</u> 38 g (78%) <u>Smp.</u>: 135°C <u>DC</u> (bas.): 1 Peak <u>Elementaranalyse:</u> C,H,N in Ordnung, **S.20**.

 $\underline{\mathbf{c}} \cdot \underline{-}\underline{\mathbf{N}}^{1} \underline{-} \underline{\mathbf{Isopropyl}}\underline{-}$

analog b. mit 19,4 ml (13,6 g; o,23 Mol) Isopropylamin

 $\underline{\mathbf{d}} \cdot \underline{-\mathbf{N}}^{1} \underline{-\mathbf{n}} \underline{-\mathbf{Propyl}} \underline{-}\underline{-}$

analog b. o,1 Mol-Ansatz; 9,6 ml (6,8 g; o,115 Mol)n-Propylam

<u>e._-N¹-n-Pentyl-</u>

analog b. mit 27 ml (20,1 g; 0,23 Mol) n-Pentylamin. 4 Std. bei 30°C rühren (Probe nach 3 Std. nur teilweise gelöst in 2 N NaOH).

 \underline{f} ._- \underline{N}^1 -n-Hep \underline{t} yl-_

analog b. mit 34,2 ml (26,5 g; o,23 Mol) n-Heptylamin. 20 Std. bei 30° C rühren (Probe kaum in 2 N NaOH löslich).

 $\underline{g} \cdot \underline{-N^1} - \underline{n} - \underline{Nonyl} - \underline{-}$

analog b. mit 40 ml (31,5 g; o,22 Mol) n-Nonylamin und zur besseren Lösung 10 ml Äthanol. 18 Std. bei 30°C rühren.

2.Darstellung der N1-n-Alkylsulfanilamide

a._N¹-Methyl-

11,41 g N⁴-Acetyl-N¹-Methylsulfanilamid (0,05 Mol) 30 Min. mit 70 ml 18,5%iger HCl (klare Lösung ab ca.80°C) Rückfluß kochen, abkühlen, unter Eiskühlung mit Na₂CO₃-Lösung (mit ca. 60 g Na₂CO₃·10H₂O in 100 ml Wasser) auf pH6 eistellen, absaugen, mit wenig Wasser waschen (Substanz löslich!), trocknen über KOH und H_2SO_4 conc. im Vakuum über Nacht.

<u>Ausbeute</u>: 7,6 g (82%) <u>Smp.</u>: 110°C

<u>DC</u> (bas.): 1 Peak <u>Elementaranalyse</u>: C,H,N in Ordnung, 5.20.

Die Darstellung der anderen Sulfanilamide erfolgt analog. Die höheren Alkylsulfanilamide werden immer weniger wasserlöslich

b._N1-n-Pentyl-

ənəlog ə. 1 Std. Rückfluß, Niederschlag zur Entfernung des NəCl ein paarmal mit Wasser aufschlämmen, trocknen über P_4O_{10} bei $50^{\circ}C$ im Vakuum über Nacht.

Ausbeute: 11,3 g (93,5%) Smp.: 120-43°C

DC (bas.): 1 Peak Elementaranalyse: C,H,N, in Ordnung, S. 20.

and the second of the second o

A substitution of the control of the contro

The state of the s

en de la composition La composition de la

*

 N^1 -n-Heptyl- und N^1 -n-Nonylsulfanilamid werden analog b. hergestellt.

3. Darstellung der N4-Maleoyl-N1-n-Alkylsulfanilamide

Bei allen Ansätzen: Apparatur mit CaCl₂-Rohr und Verwendung von wasserfreiem Aceton.

a.Maleoylsulfanilamid

andronia de la composição Por la composição de la c

entre de la companya La companya de la co

particles of the particle particles are the first of the control of the control of the first of the control of

Participation of the stable of

Constitute income the English of the Constitution of the Constitut

no de la compaña de la comp Compaña de la compaña de l

and the first transfer of the contract of the

of the contract of the end of the body of Figure 1 and the contract of the con

13,78 g (0,08 Mol) Sulfanilamid in 70 ml Aceton lösen, auf 40°C aufheizen, bei 40°C 7,84 g (0,08 Mol) Maleinsäureanhydrid in 25 ml Aceton zutropfen (Gelbfärbung), 3 Std. bei 30°C rühren (Niederschlagsbildung nach 5 Min.), 15 Min. bei 0°C rühren, absaugen, mit wenig Aceton waschen, trocknen über Blaugel bei 75°C im Vakuum über Nacht.

<u>Ausbeute:</u> 19 g (87,5%) <u>Smp.</u>: 186°C (Zer. <u>DC</u> (bas.): 1 Peak <u>Elementaranalyse:</u> C,H,N in Ordnung, **S.31**.

b.N4-Maleoyl-N1-Methylsulfanilamid

analog a. mit 15,16 g (0,0813 Mol) N^{1} -Methylsulfanilamid in 60 ml Aceton; 7,98 g (0,0813 Mol) Maleinsäureanhydrid in 25 ml Aceton.

c.N4-Maleoyl-N1-Dimethylsulfanilamid_

analog a. mit 6,8 g (0,034 Mol) N^{1} -Dimethylsulfanilamid in 40 ml Aceton; 3,34 g (0,034 Mol) Maleinsäureanhydrid in 20 ml Aceton.

$\underline{d} \cdot \underline{N}^4 - \underline{\text{Waleoyl}} - \underline{N}^1 - \underline{n} - \underline{\text{Propylsulfanilamid}}$

analog a. mit 3,5 g (o,o163 Mol) N^1 -n-Propylsulfanilamid in 30 ml Aceton; 1,6 g (o,o163 Mol) Maleinsäureanhydrid in 20 ml Aceton.

e.N4-waleoyl-N1-Isopropylsulfanilamid

analog a. mit 7 g (o,o326 Mol) N^{1} -Isopropylsulfanilamid in 40 ml Aceton; 3,2 g (o,o326 Mol) Maleinsäureanhydrid in 20 ml Aceton.

$\underline{\mathbf{f}} \cdot \underline{\mathbf{N}}^{4} - \underline{\mathbf{Maleoyl}} - \underline{\mathbf{N}}^{1} - \underline{\mathbf{n}} - \underline{\mathbf{Pentylsulfanilamid}}$

in the first of th

Character which is the second of the second

The second of th

analog a. mit 11 g (o,o454 Mol) N^{1} -n-Pentylsulfanilamid in 45 ml Aceton; 4,45 g (o,o454 Mol) Maleinsäureanhydrid in 20 ml Aceton.

<u>Ausbeute</u>: 9,2 g <u>Smp.</u>: 157-59°C Weitere 4,58 g aus der Acetonlösung mit Wasser ausgefällt.

Smp.: 156-58°C

Ausbeute insgesamt: 13,8 g (89%)

DC (bas.): Beide Fraktionen sehr wenig verunreinigt.
Elementaranalyse: C,H,N bei beiden Fraktionen in Ordnung.
Die Reinigung erfolgt über das Na-salz.Smp.: 166°C
DC (bas.): 1 Peak Elementaranalyse: C,H,N in Ordnung, S.31.

g.N4-Maleoyl-N1-n-Heptylsulfanilamid

analog f. mit 12,1 g (0,0447 Mol) N^1 -n-Heptylsulfanilamid in 50 ml Aceton; 4,39 g (0,0447 Mol) Maleinsäureanhydrid in 20 ml Aceton.

Ausbeute: 12,87 g (78%) Smp.:ab 160°C sinte.

DC (bas.): wenig verunreinigtes Produkt.

Nach der Reinigung über das Na-salz, <u>Smp.</u>: 167°C

DC (bas.): 1 Peak Elementaranalyse: C,H,N in Ordnung, 5.31.

$\underline{\mathbf{h}} \cdot \underline{\mathbf{N}}^4 - \underline{\mathbf{Maleoyl}} - \underline{\mathbf{N}}^1 - \underline{\mathbf{n}} - \underline{\mathbf{N}} \underline{\mathbf{onyl}} \underline{\mathbf{sulfanilamid}}$

analog f. mit 13,6 g (0,0455 Mol) N¹-n-Nonylsulfanilamid in

55 ml Aceton; 4,46 g (0,0455 Mol) Maleinsäureanhydrid in 20 ml

Aceton.

Ausbeute: 15,01 g (83,2%), Smp.:ab 162°C sinter

Nach der Reinigung über das Na-salz, Smp.:168°C

DC (bas.): 1 Peak <u>Elementaranalyse</u>: C,H,N in Ordnung, \$.31.

4. Cyclisierung der N4-Maleoyl-N1-n-Alkylsulfanilamide

Bei allen Ansätzen: Apparatur mit CaCl2-Rohr und Verwendung von wasserfreiem Na-acetat.

 $\underline{a} \cdot \underline{N}(\underline{4} - \underline{S}\underline{u}\underline{l}\underline{f}\underline{a}\underline{m}\underline{o}\underline{y}\underline{l}\underline{p}\underline{h}\underline{e}\underline{n}\underline{y}\underline{l}) - \underline{m}\underline{a}\underline{l}\underline{e}\underline{i}\underline{m}\underline{i}\underline{d}$

and the second of the second o

ng graphy dept. In december of the confidence

en de la companya de la co

editoria de la fina de la composición del composición de la compos

our provides the control of the cont

Grand Control of the Control of the

 $(x_1, x_2, \dots, x_{n-1}, x_n)$, where x_1, \dots, x_n is the first x_1, \dots, x_n . The first x_1, \dots, x_n

"我们是我们的一个好人,我们就会一个快乐。""你说,这个一个,我们就会一个多数。"

the second of th

Versuch I: 5,4 g (0,02 Mol) Maleoylsulfanilamid mit 1,2 g
Na-acetat und 55 ml Essigsäureanhydrid auf 91°C aufheizen,
2 Min. bei 91°C rühren, heiß in 280 ml Eiswasser filtrieren
(sofort Niederschlagsbildung), 20 Min. bei o°C rühren, absaugen,
mit viel Wasser waschen, trocknen über KOH und H₂SO₄ conc. im
Vakuum über Nacht.

Ausbeute: 3,55 g

Smp.: 158-92°C

DC (bas.): 2 cycl.Produkte

NMR: 25% nichtacyl.Prod./75% acyl.F

Die Kristalle mehrmals in CHCl₃ und Methanol aufgerührt,
getrocknet über P₄O₁₀ und Blaugel bei 90°C im Vakuum für 3 Std.

Ausbeute: 0,88 g (17,5%), Smp.: 220-32°C(2

DC (bas.): 1 cycl.Prod.

NMR: 100% nichtacyl.Produkt

Elementaranalyse: C,H,N in Ordnung,S.31.

Versuch II: 2,7 g (0,01 Mol) Maleoylsulfanilamid mit 0,6 g Na-Acetat und 27,6 ml Essigsäureanhydrid auf 60°C aufheizen, 30 Min. bei 60°C rühren, heiß in 140 ml Eiswasser filtrieren (sofort Niederschlagsbildung), 20 Min. bei 0°C rühren, absaugen, mit viel Wasser waschen, trocknen über KOH und H₂SO₄ conc. im Vakuum über Nacht.

 $\underline{\text{DC}}$ (bas.): 1 cycl.nichtacyl.Produkt, 1 offenes Prod.

Die Kristalle mehrmals in Wethanol verrührt, getrocknet über P_4O_{10} und Blaugel bei $90^{\circ}C$ im Vakuum für 3 Std.

<u>Ausbeute:</u> 0,2 g (8%), <u>Smp</u>.:230°c (Zers.

DC (bas,): 1 cycl.Prod. NMR: 100% nichtacyl.Produkt
Elementaranalyse: C,H,N in Ordnung,5.31.

 $\underline{b} \cdot \underline{N}(\underline{N} - \underline{A} c \underline{e} \underline{t} \underline{y} \underline{1} - \underline{4} - \underline{S} \underline{u} \underline{1} \underline{f} \underline{s} \underline{m} \underline{o} \underline{y} \underline{1} \underline{p} \underline{h} \underline{e} \underline{n} \underline{y} \underline{1}) - \underline{m} \underline{s} \underline{1} \underline{e} \underline{i} \underline{m} \underline{i} \underline{d}$

9,29 g (0,0343 Mol) Məleoylsulfəniləmid mit 2,05 g Nə-əcetət und 94 ml Essigsäureanhydrid auf 100 $^{\rm O}$ C aufheizen, 10 Min.

zwischen 97 und 100°C rühren, heiß in 470 ml Eiswasser filtrieren 1 Std. im Eiswasser rühren (Niederschlagsbildung), absaugen, mit viel Wasser waschen, trocknen über KOH und H₂SO₄ conc. im Vakuum über Nacht.

Ausbeute: 7,9 g Smp.: ab 99°C sintern Elementaranalyse: C,N zu tief; H zu hoch

Kristalle in 50 ml Methanol aufschlämmen, absaugen, waschen mit Methanol, trocknen über P_4O_{10} und Blaugel bei $105^{\circ}C$ im Vakuum für 3 1/2 Std.: gelb-glasigen Rückstand zerreiben.

Ausbeute: 6,51 g (64,5%) Smp.: $167^{\circ}C$.

DC (bas.): 1 cycl.Prod. NMR: 100% acyl. Produkt

Elementaranalyse: C,N,H in Ordnung, 5.31.

Die Cyclisierung der übrigen Maleoyl-Sulfanilamide erfolgt analog b. mit den gleichen Mengenverhältnissen, jedoch abgewandelten Cyclisierungstemperaturen und -zeiten: Tafel IIX, S.30.

Die höheren n-Alkylderivate werden 15 Min. zwischen 96-98°C cyclisiert. Diese müssen solange in Eiswasser gerührt werden, bis der zunächst ölige Niederschlag kristallisiert (bis 2 Std.).

Eine Reinigung der nicht ganz sauber anfallenden höheren n-Alkylderivate schlug fehl (hier muß das gereinigte – über das Na-salz – Maleinsäuremonoamid eingesetzt werden).

 $\label{eq:normalize} $$N(N-Acetyl-N-Methyl-4-Sulfamoylphenyl)-maleimid und $$N(N-Dimethyl-4-Sulfamoylphenyl)-maleimid für die Aufnahme der IR- und MS-Spektren aus CCl_4 umkristallisieren.$

5. Darstellung der monosubstituierten Thioharnstoffe

a.Tert.Butyl-Isothiocyanat_

recent of the second of the se

and the first of the contract of the contract

en de en la <u>entrada de la compaña de la com</u>

ng national service (1976) in a single programme programme and the constraint of the

the first transfer and tr

ner an experiencia de la completa d La completa de la co

A DEPARTMENT OF THE STATE OF TH

y washing the state of the control of the state of the control of the state of the

State Research Anna Brain meanig

82,2 g (1,08 Mol) $\mathrm{NH_4NCS}$, 30 g $\mathrm{ZnCl_2}$, 83,4 g (0,9 Mol) tert. Butylchlorid und 300 ml Wasser 96 Std. schütteln. Die gelbliche org. Oberschicht abtrennen, waschen mit 3.50 ml Wasser, trocknen mit $\mathrm{CaCl_2}$, 1 Std. mit 15 g gepulvertem wasserfreiem $\mathrm{ZnCl_2}$ (geht in Lösung) schütteln, 160 Std. stehen lassen (3 Phasen), obere Phase abtrennen, mit 3.50 ml Wasser waschen, trocknen mit $\mathrm{CaCl_2}$.

Ausbeute: 44,1 g (45,6%) $\mathrm{n_D^{25}}$: 1,4780

<u>b.1-n-Propyl-3-tert.Butyl-Thioharnstoff</u>

10g - 12g - 12g

A CANADA SER AND A CANA

医乳腺性 医乳腺性 医乳腺 医电子性 医皮肤 医皮肤 医二氏病 医二氏病 医二种

,我们就是我们的一个人,我们就是我们的一个人,我们就是这个人的一个人,我们就能够有一个人。"

en grand i de la companya de la com

"我们就是我们的,我们就是一个**,我们**是这样的,我们就是一个人的。""我们就是一个人,我们就是一个人的。"

"我们是我们的,我们就是一个一个一定,我们的一个一个一定的。" "我们的一个女人,这样的一个女

10,38 g (0,09 Mol) Tert.Butyl-Isothiocyanat in 45 ml Petroläther eintropfen in 5,32 g (0,09 Mol) n-Propylamin in 45 ml Petroläther bei o^oC. Rühren 2 1/2 Std. bei Raumtemperatur (wobei die Lösung langsam dickflüssig wird), absaugen, waschen mit Petroläther, trocknen über Blaugel im Vakuum bei Raumtemperatur über Nacht.

<u>Ausbeute</u>: 14,17 g (90,4%) <u>Smp</u>: 58°C

c.1-n-Pentyl-3-tert.Butyl-Thioharnstoff

analog b. mit 10,38 g (0,09 Mol) Tert.Butyl-Isothiocyanat 7,85 g (0,09 Mol) n-Pentylamin

<u>d.1-n-Heptyl-3-tert.Butyl-Thioharnstoff</u>

analog b. mit 10,38 g (0,09 Mol) Tert.Butyl-Isothiocyanat 10,37 g (0,09 Mol) n-Heptylamin da hier keine Niederschlagsbildung eintritt, den Ansatz im Vakuum eingeengt. Alle Kristallisationsversuche schlugen fehl.

Ausbeute: 17 g Öl (93,1%)

e.1-n-Nonyl-3-tert.Butyl-Thioharnstoff

analog d. mit 10,38 g (0,09 Mol) Tert.Butyl-Isothiocyanat 12,9 g (0,09 Mol) n-Nonylamin

f.1-n-Propyl-Thioharnstoff

14,17 g (o,o81 Mol) 1-n-Propyl-3-tert.Butyl-Thioharnstoff in 70 ml HCl conc. auf Rückflußtemperatur aufheizen, innerhalb 30 Min. zwischen $64-95^{\circ}$ C tert.Butylchlorid abdestillieren, abkühlen, mit NH₃ conc. (ca. 59 ml) neutralisieren, absaugen, waschen mit sehr wenig Wasser, trocknen über KOH und $\rm H_2SO_4$ conc. im Vakuum über Nacht.

Das Rohprodukt in 50 ml Aceton (wasserfrei) lösen, den Rückstand abfiltrieren, die Lösung einengen, trocknen über Blaugel bei 75°C im Vakuum über Nacht.

<u>Ausbeute:</u> 6,93 g (72,1%) <u>Smp</u>: 108°C <u>Elementaranalyse</u>: C,H,N in Ordnung,**5.40**. <u>NMR</u>: erwartetes Produkt

Die Darstellung der anderen Thioharnstoffe erfolgt analog. Die höheren Alkylthioharnstoffe werden immer weniger wasserlöslich.

6.Darstellung der 6-n-Alkyl-2-Thiouracile

The state of the S

and the state of the control of the control of the state of the control of the state of the stat

and the second s

· 15. 大学 14. 大学

grande de la companya de la company La companya de la co

andra de la companya Tanàna dia mandra dia

Commence of the Commence of the Following

Company of the Company

<u>a.n-Caproylacetessigester (C5H11CO-)</u>

analog Vorschrift: Organikum (1971a), 1 molarer Ansatz -

24,31 g (1 g-Atom) Magnesium, 50 ml abs.Äthanol, 5 ml trock. CCl_4 Gemisch aus 130,14 g (1 Mol) Acetessigester, 100 ml abs.Äthanol und 400 ml abs.Äther;

134,61 g (1 Mol) Capronsäurechlorid in 100 ml abs.Äther; Mischung aus 400 ml Eis und 25 ml $\rm H_2SO_4$ conc.

Rohausbeute: 204,95 g (89,8%)

<u>b.n-Caprylacetessigester_(C7H15CO-)</u>

analog a. mit 162,66 (1 Mol) Caprylsäurechlorid

<u>Rohausbeute</u>: 236 g (92%)

<u>c.n-Caprinacetessigester (C9H19CO-)</u>

analog a. mit 184,2 g (0,966 Mol) Caprinsäurechlorid Rohausbeute: 262,2 g (92,2%)

d.n-Caproylessigester

James to the J

ing and the contract of the co

Control of the Contro

and the second of the second o

er and enter the symmetry

gradus substitution of the contract of the con

Contraction of the same of the

and the second of the second o

The second of th

analog Vorschrift: Organikum (1971b),

204,95 g (0,898 Mol) n-Caproylacetessigester, 53 g (0,944 Mol) Ätzkali in 450 ml Äthanol;

2,7 l Eis und 24 ml H_2SO_4 conc.

Rohausbeute: 168 g

Das Rohprodukt über eine 30 cm Vigreux-Kolonne destillieren. Fraktion II: Kp. $_{13}$ 113-27°C, 96,43 g (51,8%) 82%iges Produkt (Gaschromatogr.), n_{D}^{25} : 1,4381

e.n-Caprylessigester_

analog d. mit 236 g (0,92 Mol) n-Caprylacetessigester, 54,1 g (0,966 Mol) Ätzkali in 460 ml Äthanol;

2,8 1 His und 25 ml H_2SO_4 conc.

Rohausbeute: 198,6 g

Fraktion III: Kp.₂₋₃ 119-33°C, 100,08 g (50,8%) 86%iges Produkt (Gaschromatogr.), n_D²⁵: 1,4397

f.n-Caprinessigester_

analog d. mit 262,2 g (0,922 Mol) n-Caprinacetessigester, 54,3 g (0,968 Mol) Ätzkali in 460 ml Äthanol;

2,8 1 Eis und 25 ml $\rm H_2SO_4$ conc.

Rohausbeute: 223,5 g

Fraktion III: Kp._{0,4-1} 107-35°,C, 95,58 g (42,8%) 85%iges Produkt

(Gaschromatogr.), n²⁵_D: 1,4447

g.6-n-Pentyl-2-Thiourscil

2,3 g (0,1 g-Atom) metall. Natrium verteilen in 50 ml wasserfreiem Äthanol; 5,33 g (0,07 Mol) Thioharnstoff und 9,31 g (o,o41 Mol) n-Caproylessigester zur klaren Lösung geben. Die Mischung erhitzen auf Rückflußtemperatur, nach ca. 10 Min. ist

eine Lösung erreicht (etwas trübe); es beginnt sich ein Niederschlag zu formen, nach 6 1/2 Std. abkühlen lassen und über Nacht bei Raumtemperatur stehen lassen. Einengen bis 50°C im Vakuum bis zur Trockene, den Rückstand in 50 ml Wasser lösen. Das Produkt ausfällen durch Zufügen von 7 ml HCl conc. und nachfolgendem Ansäuern zu pH4 mit Eisessig; das rohe Thiouracil absaugen, waschen mit 3.20 ml Wasser und trocknen über KOH und H₂SO₄ conc. im Vakuum über Nacht.

Ausbeute: 7,68 g (94,5%) Smp.: 151-52°C Elementaranalyse: C,H,N in Ordnung, S.40. NMR: erwartetes Produkt

h.6-n-Heptyl-2-Thiourscil

analog g. mit 10,71 g (0,043 Mol) n-Caprylessigester

<u>Ausbeute:</u> 9,65 g (99%) <u>Smp</u>.: 146-49°C

<u>Elementaranalyse:</u> C,H,N in Ordnung,**S40**. <u>NMR</u>: erwartetes Produkt

<u>i.6-n-Nonyl-2-Thiouracil</u>

analog g. mit 12,12 g (o,o425 Mol) n-Caprinessigester

<u>Ausbeute</u>: 10,29 g (95%) <u>Smp</u>.: 135-38°C

<u>Elementaranalyse</u>: C,H,N in Ordnung,**5.40**. <u>NMR</u>: erwartetes Produkt

<u>7.Kinetik</u>

and the second of the second o

en de la companya de la co

to the to

en de la companya de la co

and the second of the second o

And the second of the second o

andre de la companya La companya de la co

gradus of the state of the control of the state of the st

and the property of the second of the second

The state of the s

and the control of the second second

Late Aug to the Book of the Control of

and the second of the second o

- a.B-Lactoglobulin-Lösung
- o,58 g B-Lactoglobulin in 50 ml Wasser lösen und filtrieren.

 Messen am DW 2 UV-Spektrometer bei 280 mm:
- o,3 ml Lösung und 2,7 ml Wasser.
 Es gilt:

mg Protein pro ml Lösung = 1,11.0.D. bei 280 m/w.

- b.Titration der B-Lactoglobulin-Lösung
- 2,5 ml Protein-Lösung/o,5 ml Phosphatpuffer 1 M, pH6,1 und 1,5 ml o,6 M KJ-Lösung zusammengeben.

 Messen am DW 2 UV-Spektrometer bei 355 mm:

2,7 ml Mischung und 0,3 ml $\times .10^{-3}$ N J_2 in 0,2 M KJ-Lösung. (x= 1 bis 5) $-5^{\circ}C$ -

c.Herstellen_des_B-Lactoglobulin-Sulfenyljodid

2,7 ml Mischung b. und o,3 ml o,0035 N J_2 in o,2 M KJ-Lösung. - $5^{\circ}C$ -

d. Herstellen der Thioharnstoff-und Thiouracil-Lösungen

Von jedem Reagens (außer Thiouracil und Methylthiouracil) 20.10^{-3} M Lösungen herstellen und zwar

Thioharnstoffe:

en de la companya de la co

the first of the f

A second of the control of the control

. Para tanàna mandritry ny faritr'i National North N

en de la composition La composition de la

and the state of the second of the state of the state of the second of the second of the state of the state of the second of the

en en en la figure de la companya d

R= H, CH_3 , C_2H_5 , C_3H_7 in Wasser C_5H_{11} in 9:1-Wasser/Äthanol C_7H_{15} in 1:1-Wasser/Äthanol C_9H_{19} in Äthanol. Thiouracile:

R= H und CH₃ (beide 10.10⁻³ M), C_3H_7 in 1:1-Wasser/Äthanol C_5H_{11} , C_7H_{15} , C_9H_{19} in Äthanol.

e.Abfangreaktionen_

Messen am DW 2 UV-Spektrometer bei 355 mm: 3 ml Lösung c. und 50 ml Reagens-Lösung d. (bei Thiouracil und Methylthiouracil 100 ml).

Messen am DW 2 UV-Spektrometer mit Stopped-Flow-Zusatz bei 355 $\mbox{\sc ym}$:

Thioharnstoff- und Heptylthioharnstoff-Lösungen d. 1:60 mit o,2 M KJ-Lösung verdünnen; zusammengeben im Verhältnis 1:1 Lösung c. und diese verdünnten Lösungen.

– 5°C –

LITERATURVERZEICHNIS

and the second of the second o

and the first of the control of the

o grando de la comprese de la comprese de la filografia de la comprese de la comprese de la comprese de la comp

Anderson, B.M. et al(1970), Biochemistry, Vol. 9, No 17, 3348.

Anderson, G.W. et al(1945), J. Amer. Chem. Soc. 67, 2197.

Awtrey, A.D., Connick, R.E. (1951), J. Amer. Chem. Soc. 73, 1842.

Baltscheffsky, H. und M. (1974), Ann. Rev. of Biochem., Vol. 43, 871.

Basch, J.J., Timasheff, S.N. (1969), Arch. of Biochem. and Biophys.

103, 720.

Bell, K. (1962), Nature (London) 195, 705.

Bell, K. et al (1970), Proc. Austr. Biochem. Soc. 3, 82.

Bäuerlein, E. (1972), Habilitationsschrift, 56.

Boyer, P.D. (1971), in Proceedings of the Intern. Sympos. on the "Biochem. and Biophys. of the Mitochondrial Membranes"

Bressanone-Padua, Academic Press, New York-London, S. 343. Braunitzer, G. et al (1972), Hoppe-Seyler's Z. Physiol. Chem. 353, 832. Coleman, L.E. et al (1959), J. of org. Chem. 24, 135.

Cotter, R.J. et al(1961), J. of org. Chem. <u>26</u>, 10.

Cunningham, L.W., Nuenke, B.J. (1959), J.Biol. Chem. 234, 1447.

(1960a), J.Biol.Chem. <u>235</u>, 1711. (1960b), Biochim.Biophys.Acta <u>39</u>, 565

(1961), J.Biol.Chem. <u>236</u>, 1716.

Cunningham, L.W. (1964), Biochemistry, Vol. 3, No 11, 1629.

Dunnill, P., Green, D.W. (1965), J. Mol. Biol. <u>15</u>, 147.

Follmann, H. (1974), Angewandte Chemie, 624.

Fraenkel-Conrat, H. (1955), J. Biol. Chem. <u>217</u>, 373.

Frank, G., Braunitzer, G. (1967), Hoppe-Seyler's Z. Physiol. Chem. 348, 169 (1968)

Friedman, M. (1973), The Chemistry and Biochemistry of the SH-Grow in Amino Acids, Peptids and Proteines, Pergamon Press.

Gomez, G.P. et al (1971), Arch. Intern. de Physiol. 79, 843.

Green, D.W., Aschaffenburg, R. (1959), J. Mol. Biol., Vol. 1, 54.

Grosclande, F.et al (1966), Ann. Biol. anim. Bioch. Biophys. 6, 215.

ngang mengangkan mengalah mengalah berada bandan kecamput di Kabupat di Kabupat dan kecamputan kecamput di Kab

en de la composition La <u>composition de la composition de la</u>

and the second of the second o

on a reading group of the country to a few fine and a second and a great management of the pro-

and the control of th

againt was to see the control of the

the production of the second s

and the first of the control of the

and any production of the second of the seco

Carthy Company of the Company Company

And the second s

Control of the contro

on and the second s The second se

and the control of th

Hedaya, E.et al(1966), J.of org.Chem. 31, 1311 und 1317.

Heitmann, P.(1968), European J.Biochem. 3, 346.

Heitz, J.R.et al(1968), Arch.of Biochem.and Biophys. 127, 627.

Holbrook, J.J.et al(1966), Biochem.Zeitschrift 344, 1.

Houben-Weyl(1955a), Methoden der org.Chemie, 4.Aufl., Bd.9, 799.

(1955b) 9, 609.

Jencks, W.R.(1969), Catalysis in Chemistry and Enzymology, Kap.8, 4.

Jocelyn, P.C.(1972), Biochemistry of the SH-Group, Academic Press

London und New York.

McKenzie, H.A.(1967), "Milk Proteins" in Advances in Protein

Chemistry, Vol. 22, 147.

McKenzie, H.A., Ralston, G.B.(1973), Biochemistry, Vol. 12, No 6, 102

Kessler, E., Brew, K.(1970), Biochim. Biophys. Acta 200, 449.

Kratzel and Ruis, H. (1966), Chem. Abstr. 64, 5095c.

Kretov, A.E. and Kul'chitskaya, N.E. (1956), Chem. Abstr. 50, 13771g.

Lennan, D.H. M. (1970), Current topics in membranes and transport,

F. Bronner und A. Kleinzeller, Vol. 1, 177.

Liu, T.J. (1967), J.Biol.Chem. <u>242</u>, 4029.

Mainferme, F. et al (1971), Arch. Intern. de Physiol. 79, 840.

Martial, J. et al (1971), Arch. Intern. de Physiol. 79, 842.

Merz, E. et al (1965), Biochem. Zeitschrift 342, 66.

Miller, E. et al (1939), J. Amer. Chem. Soc. 61, 1198.

Nair, G.V. (1966), Indian J. Chem., Vol. $\frac{4}{5}$, 516.

Organikum(1971a), 10.Auflage, VEB Berlin, 526.

(1971b) 529.

Overberger, C.G. und Sannes, K.N. (1974), Angewandte Chemie $\underline{4}$, 139.

Parker, D.J., Allison, W.S. (1969), J.Biol.Chem. <u>244</u>, 18o. Paul, R. und Kende, A.S. (1964), J.Amer.Chem.Soc. 86, 4162.

Puriadi M Wand Harwood H I (1971) I Org Chem 36 821

Pyriadi, T.M. und Harwood, H.J. (1971), J. Org. Chem. 36, 821.

Pyriadi, T.M. (1972), J.org. Chem. 37, 4184.

Roderick, W.R. (1964), J. of org. Chem. 29, 745.

Rothstein, A. (1970), Current topics in membranes and transport, F. Bronner und A. Kleinzeller, Vol. 1, 135.

Sabadie-Pialoux, N. und Gautheron, D. (1971), Biochim. Biophys. Acta 234, 9.

Sauers, C.K. (1969), J. of org. Chem. 34, 2275.

in the second of the second of

en de la composition La composition de la La composition de la

and the second of the second o

Simon, Z. (1974), Angewendte Chemie 22, 802.

Tanaka, Y. (1965), Chemical and Pharmaceutical Bull., Vol. 13, No 4, 399.

Tanford, Ch., Taggard, V.G. (1961), J.Amer. Chem. Soc. 83, 1634. Timasheff et al(1966), J. of Biol. Chem., 241, No 8, 1843. Timasheff, S.N., Townend, R. (1964), Nature, Vol. 203, 517. Townend, R. et al(1961), J.Amer. Chem. Soc. 83, 1419.

(1969), Arch.of Biochem.and Biophys. 129, 567.
Trommer, W. and Hendrick, M. (1973), Synthesis (August), 484.
Waissbluth, M.D., Grieger, R.A. (1974), Biochemistry 13, No 6, 1285.
Werner, A. (1912), Soc. 101, 2185; vgl. Rivier, H. und Borel, J. (1928).
Helv. 11, 1219.

Ich erkläre hiermit an Eides Statt, daß ich die vorliegende Arbeit selbständig und ohne unerlaubte Hilfsmittel durchgeführt habe.

Heidelberg, den 27. Februar 1975

the second of the contract of

Rei Wold Rill